# Métodos de análise espacial aplicados a estudos de população

#### Diego Rodrigue Macedo





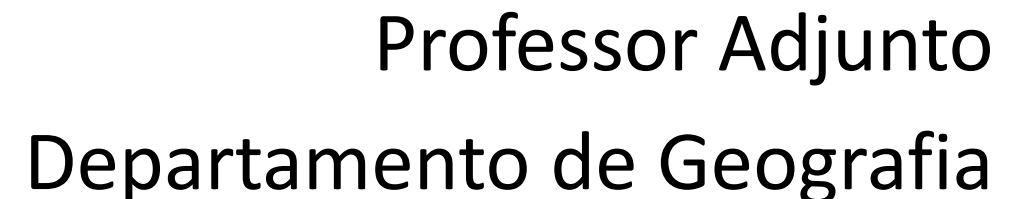


Programa de Pós-Graduação em

Análise e Modelagem de Sistemas Ambientais

UNIVERSIDADE FEDERAL

DE MINAS GERAIS





- Áreas delimitadas por polígonos
- Eventos agregados por alguma área espacial (p.ex. setor censitário, município, mesorregião, etc)
- Não há a localização exata do evento
- Geralmente representa taxas ou eventos binários

• Representação em mapas temáticos

• Exemplo: Renda em Belo Horizonte, 2000

Quantile: RENDA

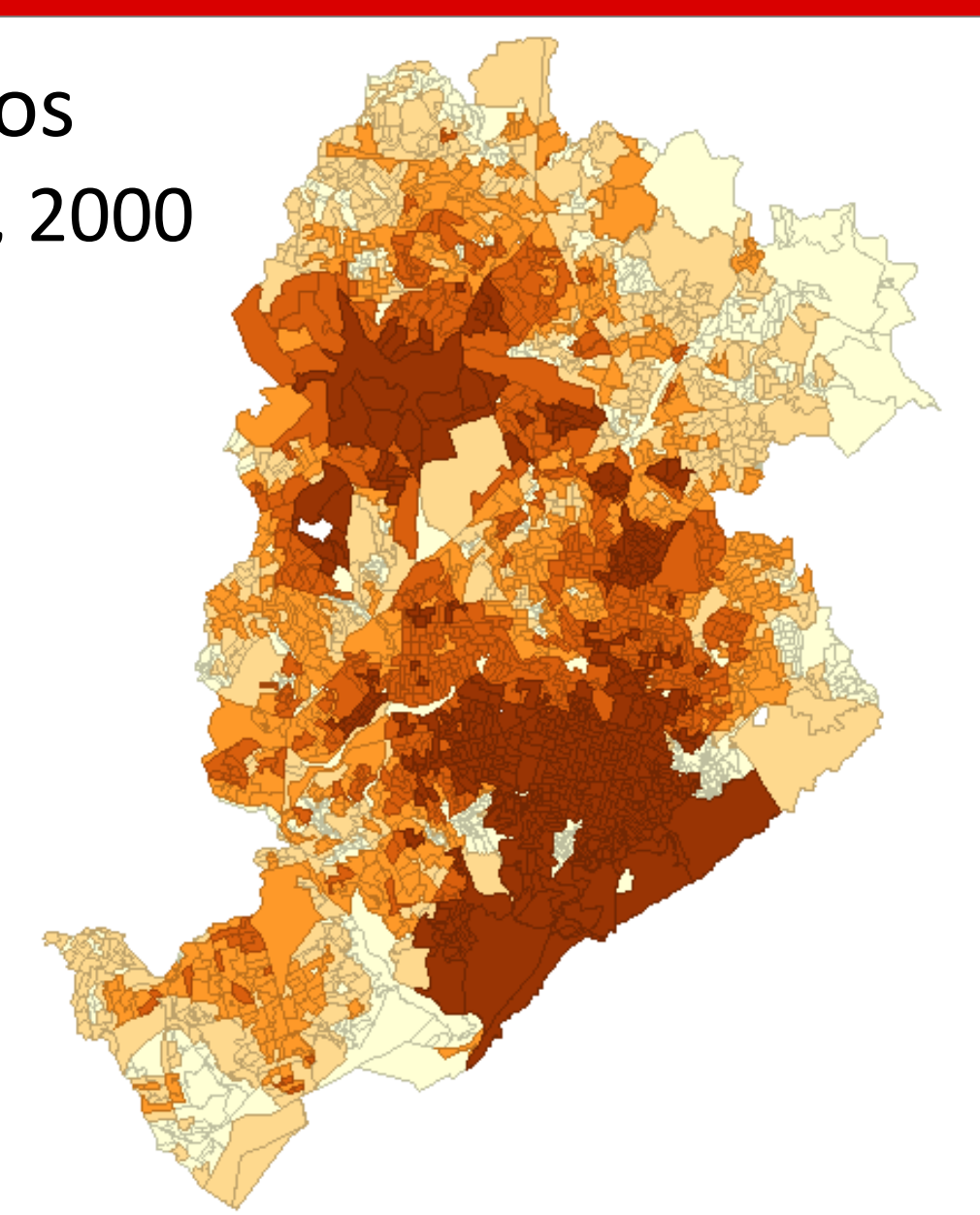
[-1.95:-1.28] (510)

[-1.28:-0.914] (509)

[-0.914:-0.206] (510)

[-0.205:1.15] (509)

[1.15:8.66] (510)



• Representação em mapas temáticos

• Exemplo: Renda em Belo Horizonte, 2000

Abordagem simplista

Conclusões intuitivas

Quantile: RENDA

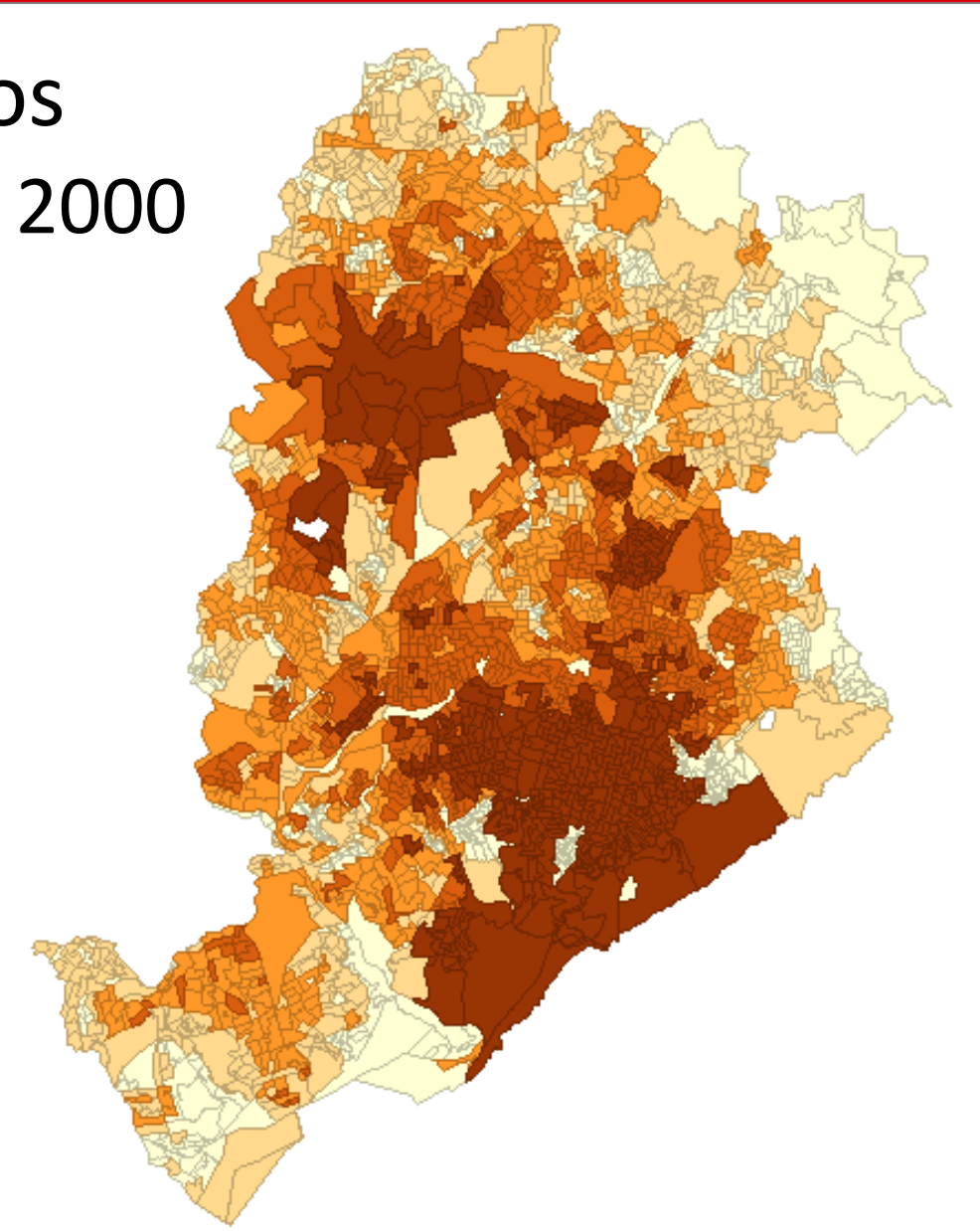
[-1.95:-1.28] (510)

[-1.28:-0.914] (509)

[-0.914:-0.206] (510)

[-0.205:1.15] (509)

[1.15:8.66] (510)



# Análise exploratória de dados espaciais

#### Padrão espacial

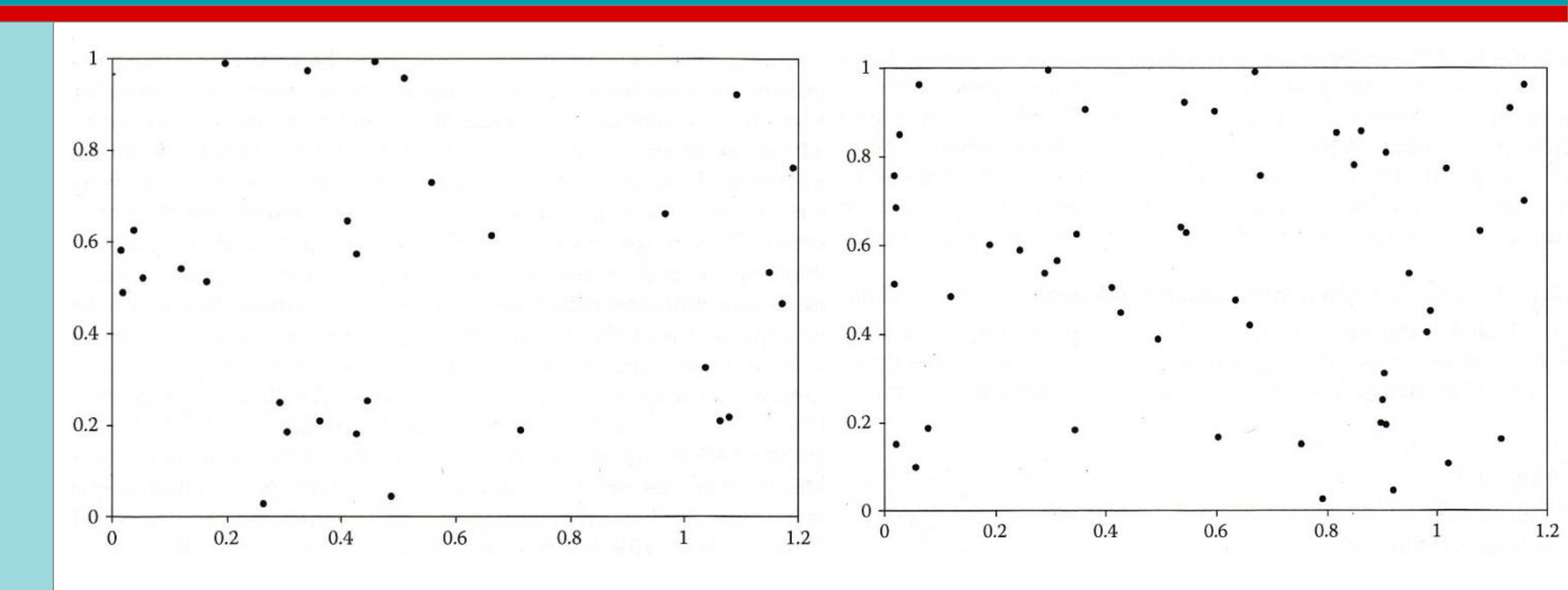
Padrão aleatório?

Padrão agregado?

Causas mensuráveis?

Clusters (regiões)?

#### Padrão espacial



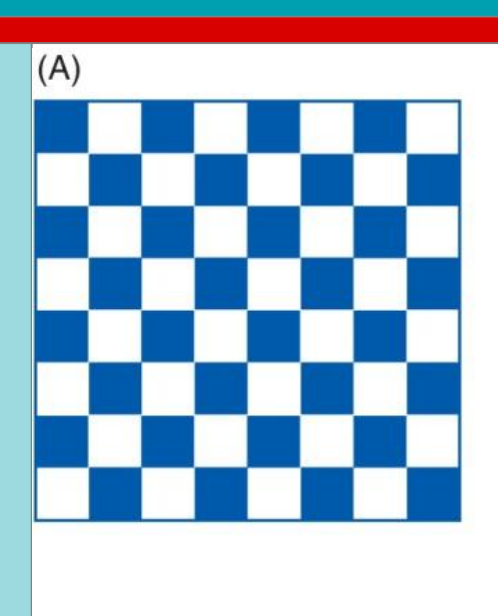
Padrão aleatório? Ou agregado?

• Primeira lei da Geografia: "Todas as coisas se relacionam, porém, coisas mais próximas são mais relacionadas que as distantes" (Tobler, 1979).

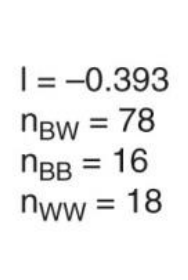
 As medidas de autocorrelação espacial procuram lidar simultaneamente com similaridades na localização dos objetos espaciais e de seus atributos

- Três possibilidades:
- Autocorrelação Positiva (Lei de Tobler): Feições similares em localização também são similares em atributos
- Autocorrelação Negativa (oposição à Lei de Tobler):
   Feições similares em localização tendem a ter atributos menos similares do que feições mais distantes
- Ausência de Autocorrelação: Quando atributos são independentes da localização

#### Field arrangements of blue and white cells exhibiting



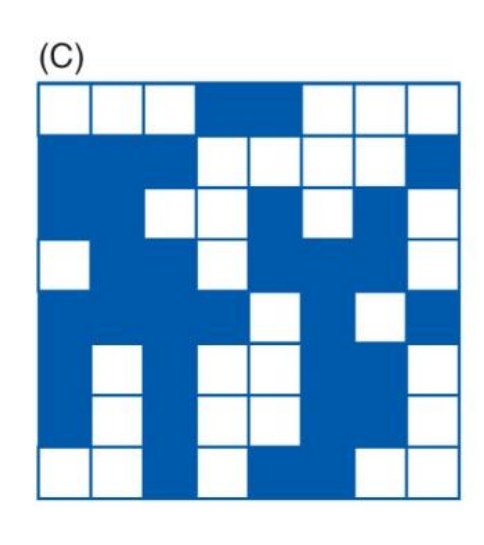
I = -1.000 $n_{BW} = 112$  $n_{BB} = 0$  $n_{WW} = 0$ 



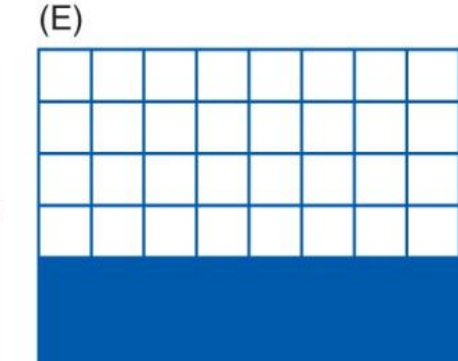
I = 0.000 $n_{BW} = 56$ 

 $n_{BB} = 30$  $n_{WW} = 26$  (B)

- (A) extreme negative spatial autocorrelation
- (B) a dispersed arrangement
- (C) spatial independence
- (D) spatial clustering
- (E) extreme positive spatial autocorrelation



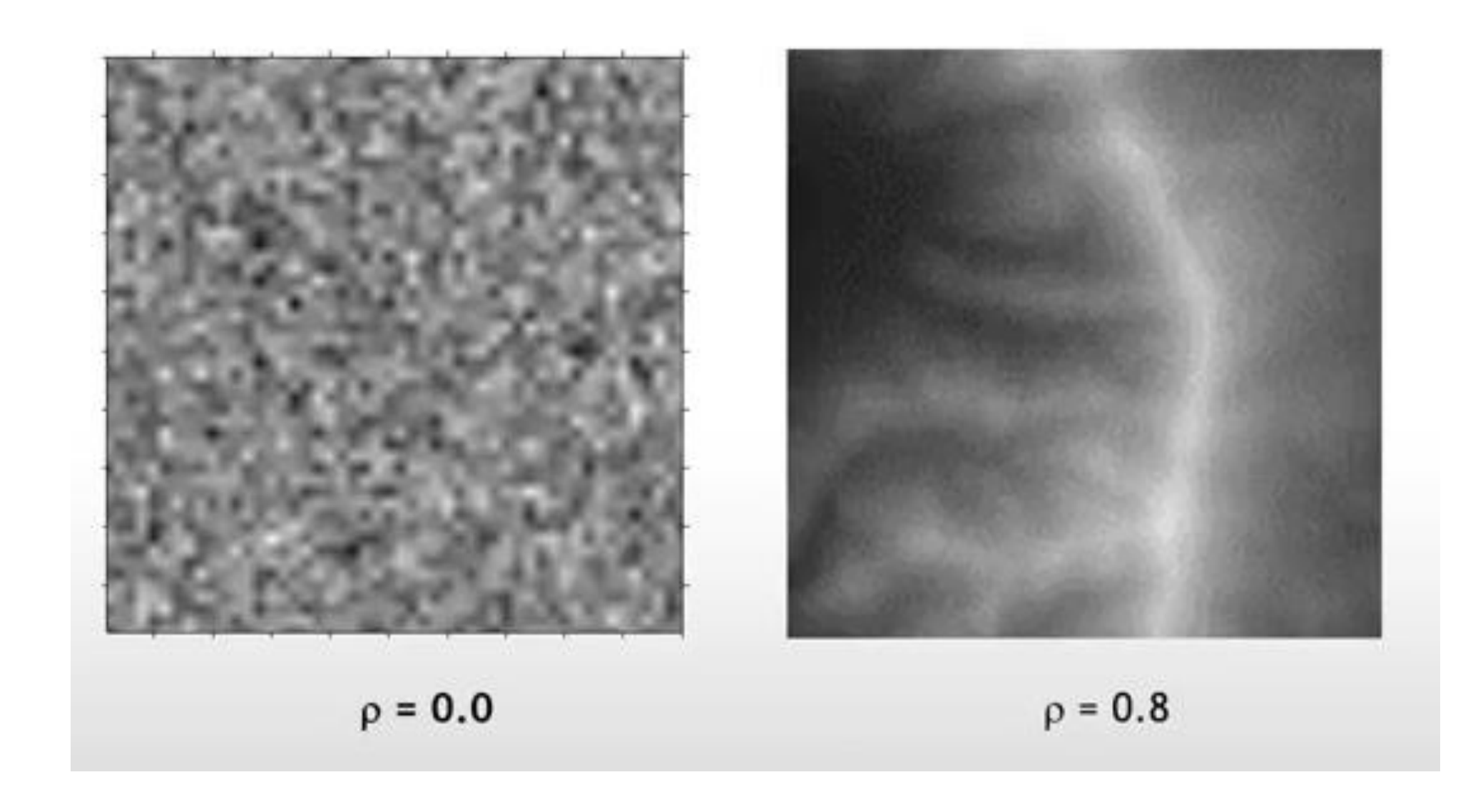
I = +0.857 $n_{BW} = 8$  $n_{BB} = 52$  $n_{WW} = 52$ 



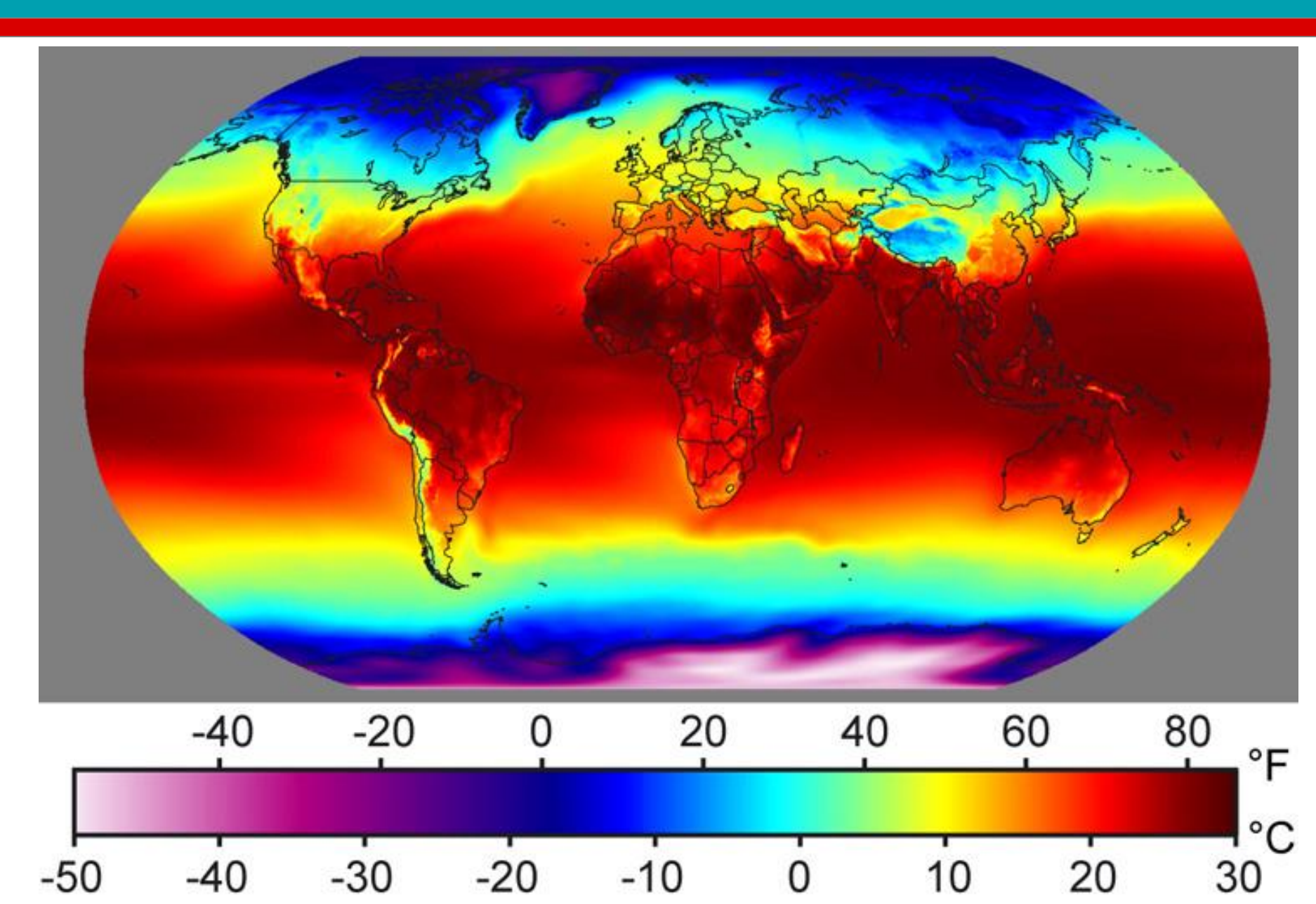
(D)

I = +0.393 $n_{BW} = 34$  $n_{BB} = 42$  $n_{WW} = 36$ 

(Goodchild 1986 apud Longley et al, 2013)



- Heterogeneidade espacial: Tendência de lugares de serem diferentes uns dos outros.
- Heterogeneidade maior com o aumento da distância
- Alguns fenômenos geográficos variam de maneira gradual através do espaço (estacionariedade), enquanto outros podem apresentar extrema irregularidade, violando a Lei de Tobler



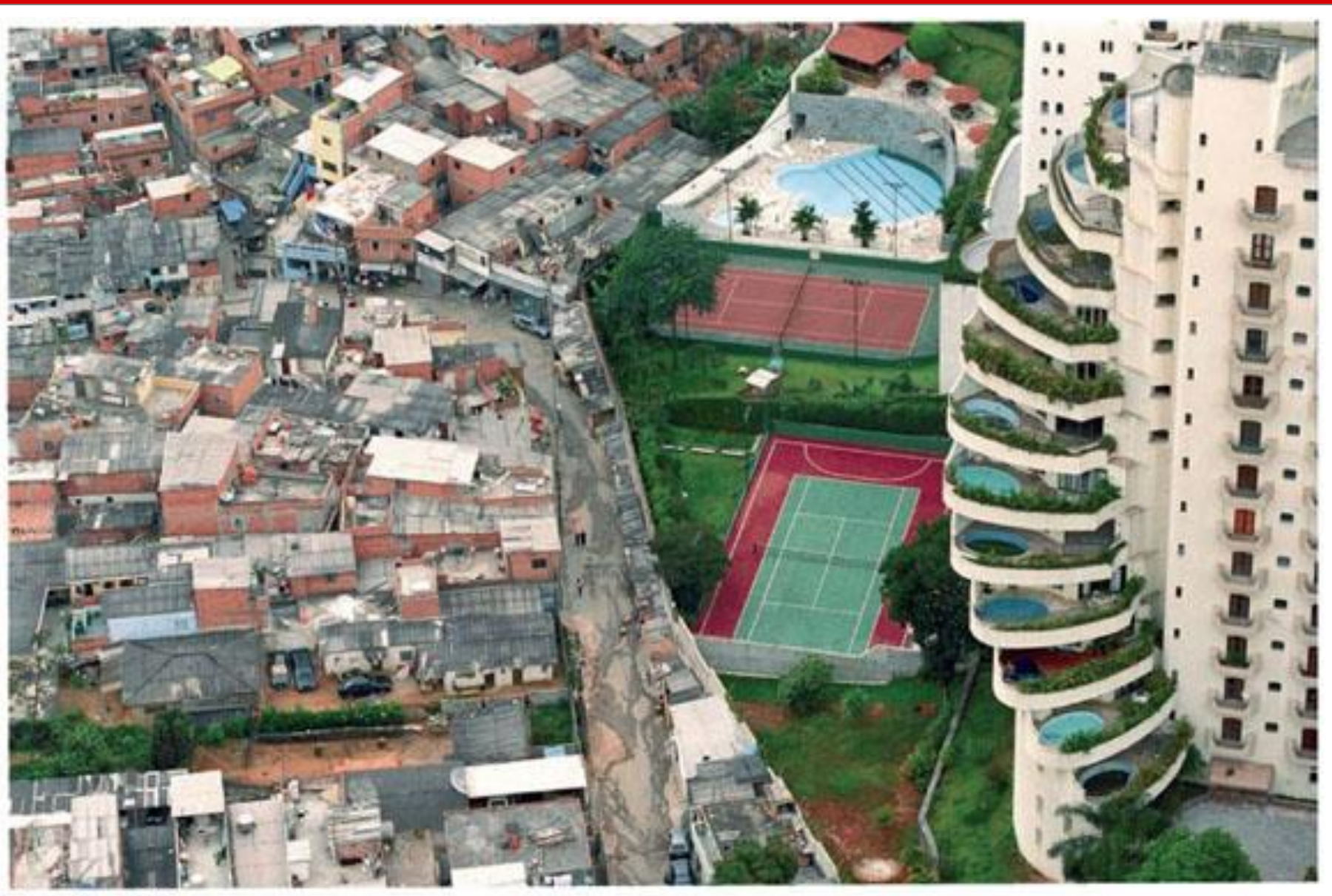
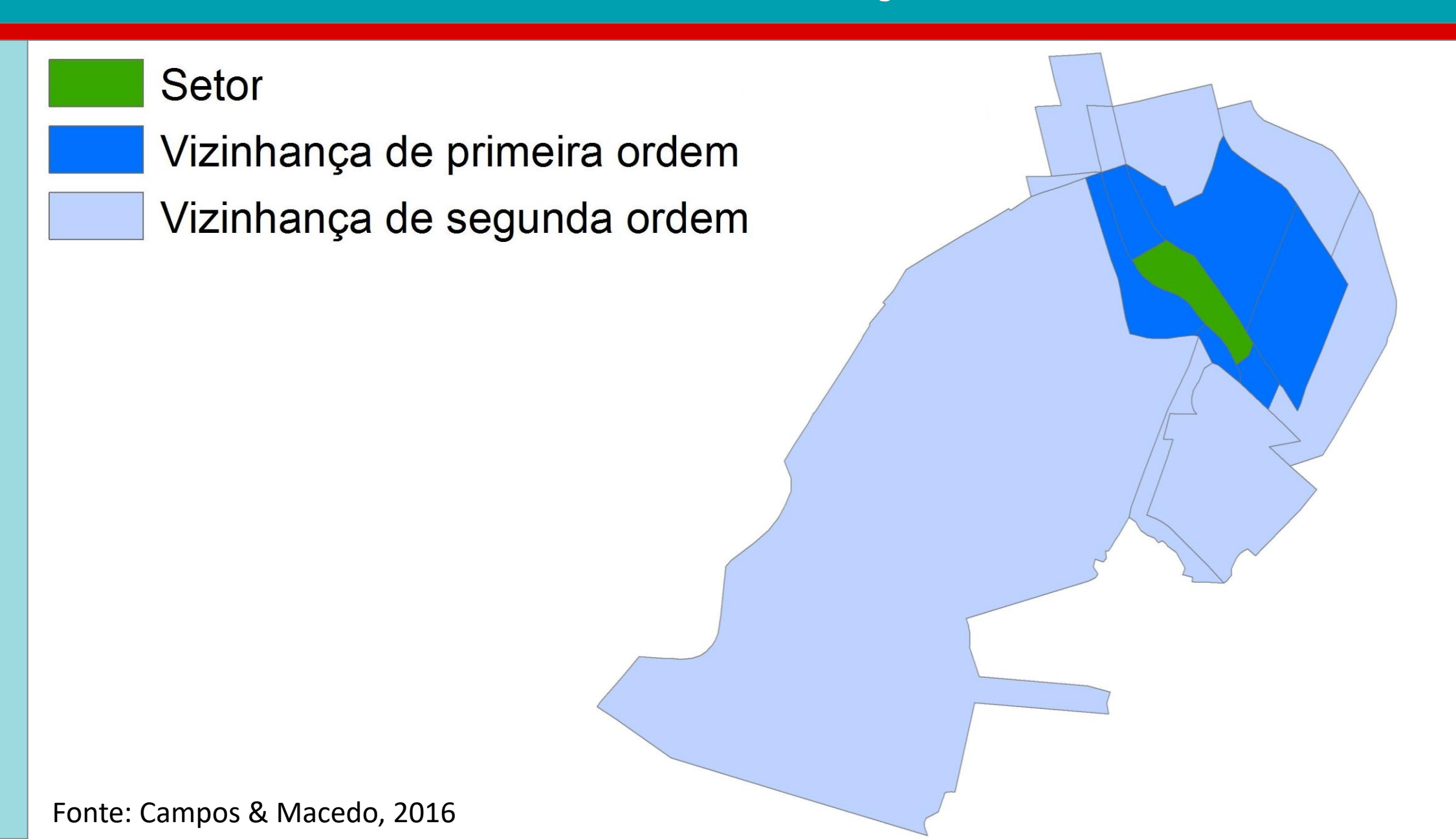
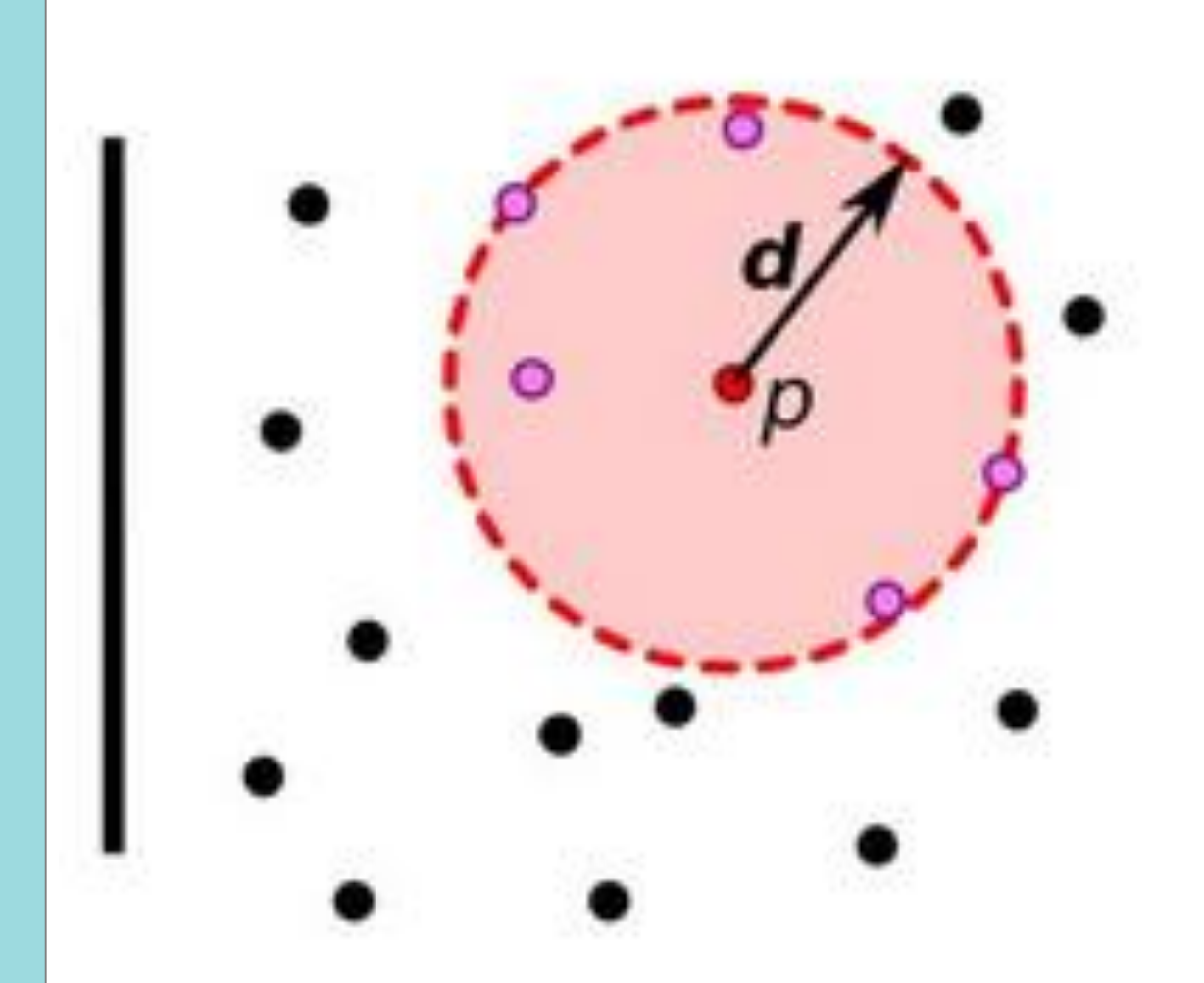


Foto: Tuca Vieira

#### Vizinhança



## Vizinhança



K-vizinhos K-vizinhos até um raio "d"

# Indice de Moran

#### Indice de Moran

 Dependencia espacial entre as unidades de análise em relação à variável de estudo

 A principal medida de correlação espacial é o Indice de Moran (I)

#### Dependência espacial

- Aleatoriedade dos dados espaciais:
  - Se **SÃO** aleatórios, o valor de uma variável não depende do valor desta variável nos locais vizinhos

Autocorrelação espacial global

Autocorrelação espacial local

#### Autocorrelação espacial global

• Indice de Moran (I) Global

$$I = \left(\frac{N}{\sum_{ij} w_{ij}}\right)^{\sum_{ij} w_{ij} (x_i - \mu)(x_j - \mu)} \frac{\sum_{ij} w_{ij} (x_i - \mu)(x_j - \mu)}{\sum_{ij} i (x_i - \mu)^2}$$
(1)

#### Onde:

```
I = {\sf Moran\ Global},

N = {\sf n\'umero\ de\ observa\'ç\~oes},

x = {\sf vari\'avel\ analisada},

\mu = {\sf m\'edia\ de\ x},

w_{ij} = {\sf elementos\ da\ matriz\ de\ pesos\ espaciais},\ nos\ quais\ _i\ e\ _j\ referem-se\ a\ localiza\'ç\~ao\ geográfica.}
```

#### Autocorrelação espacial global

- Indice de Moran (I) Global
- Medida de associação linear entre os valores de uma determinada área (Z) e a média ponderada dos valores da vizinhança (Wz)
- O índice de Moran varia entre -1 e 1
- Interpretação similar à análise de correlação linear

• Diagrama de dispersão

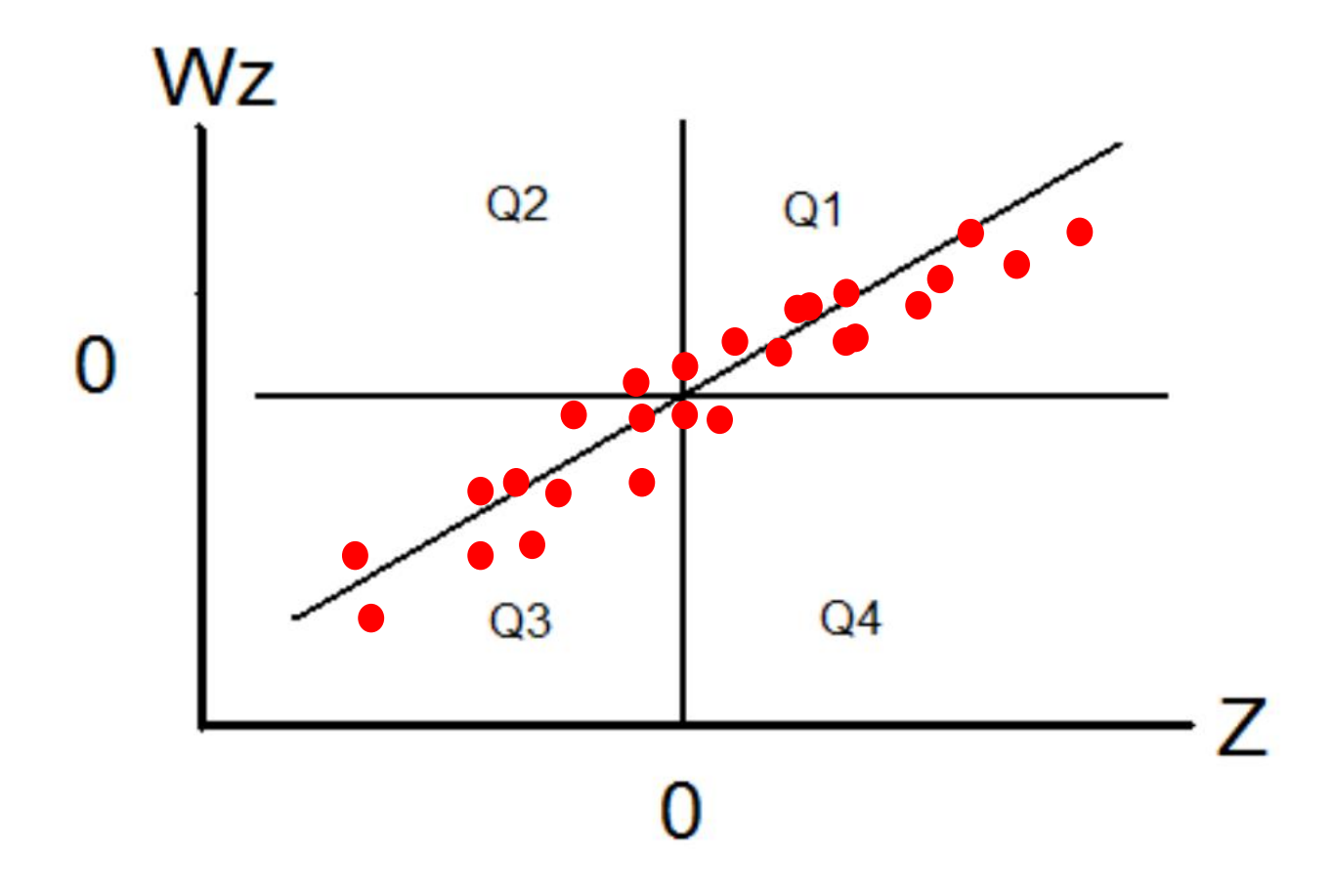


Diagrama de dispersão

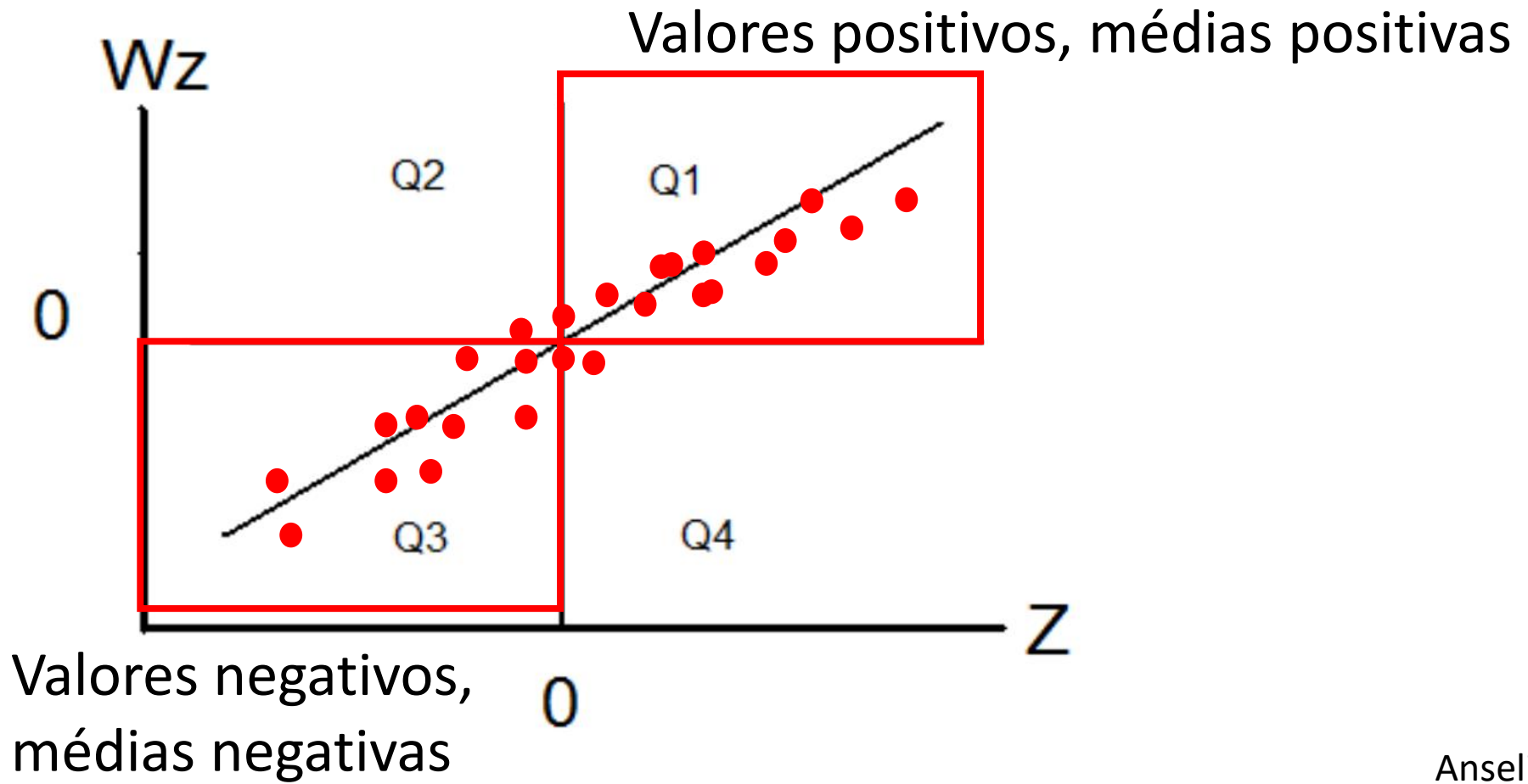
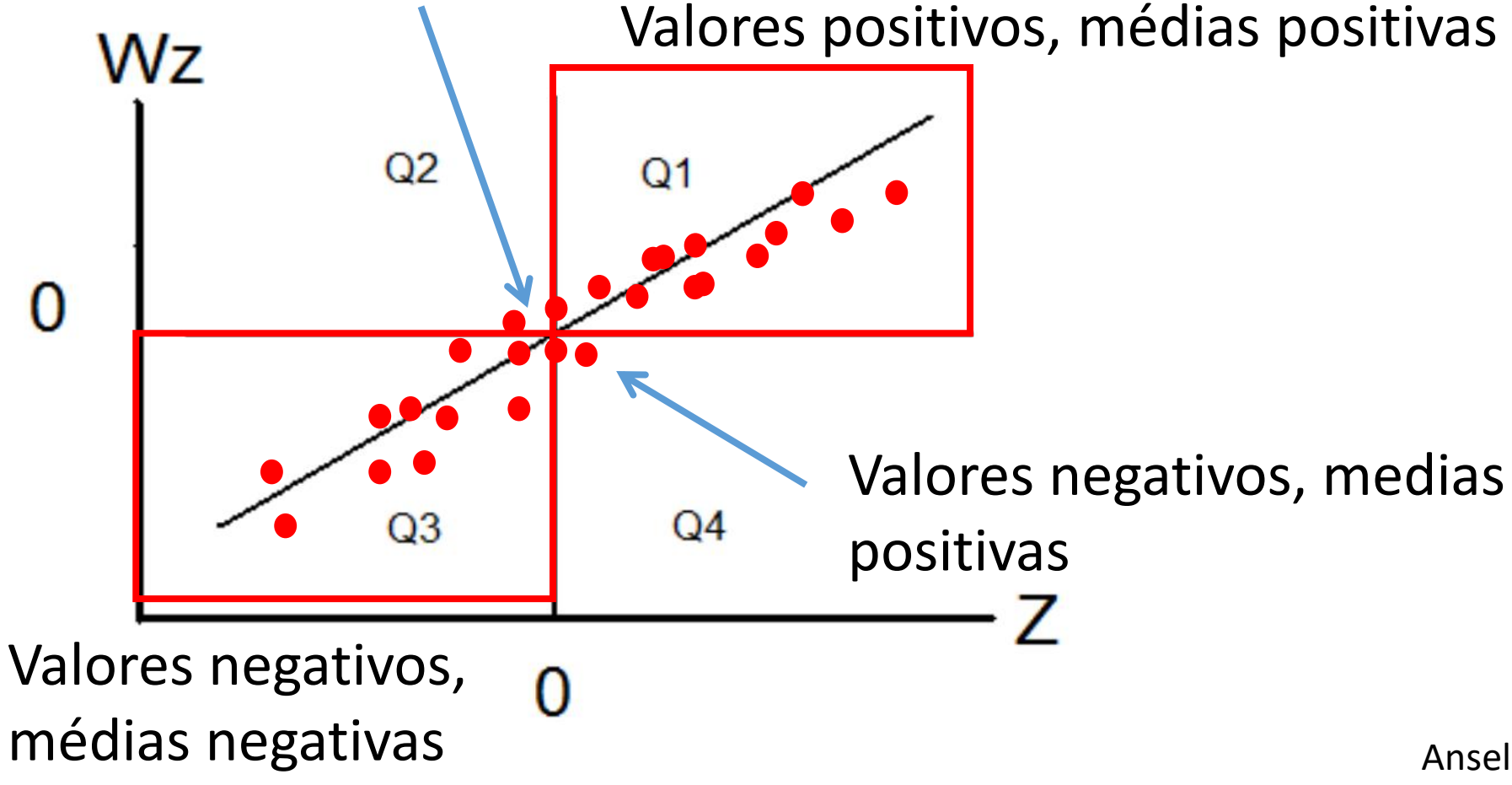


Diagrama de dispersão

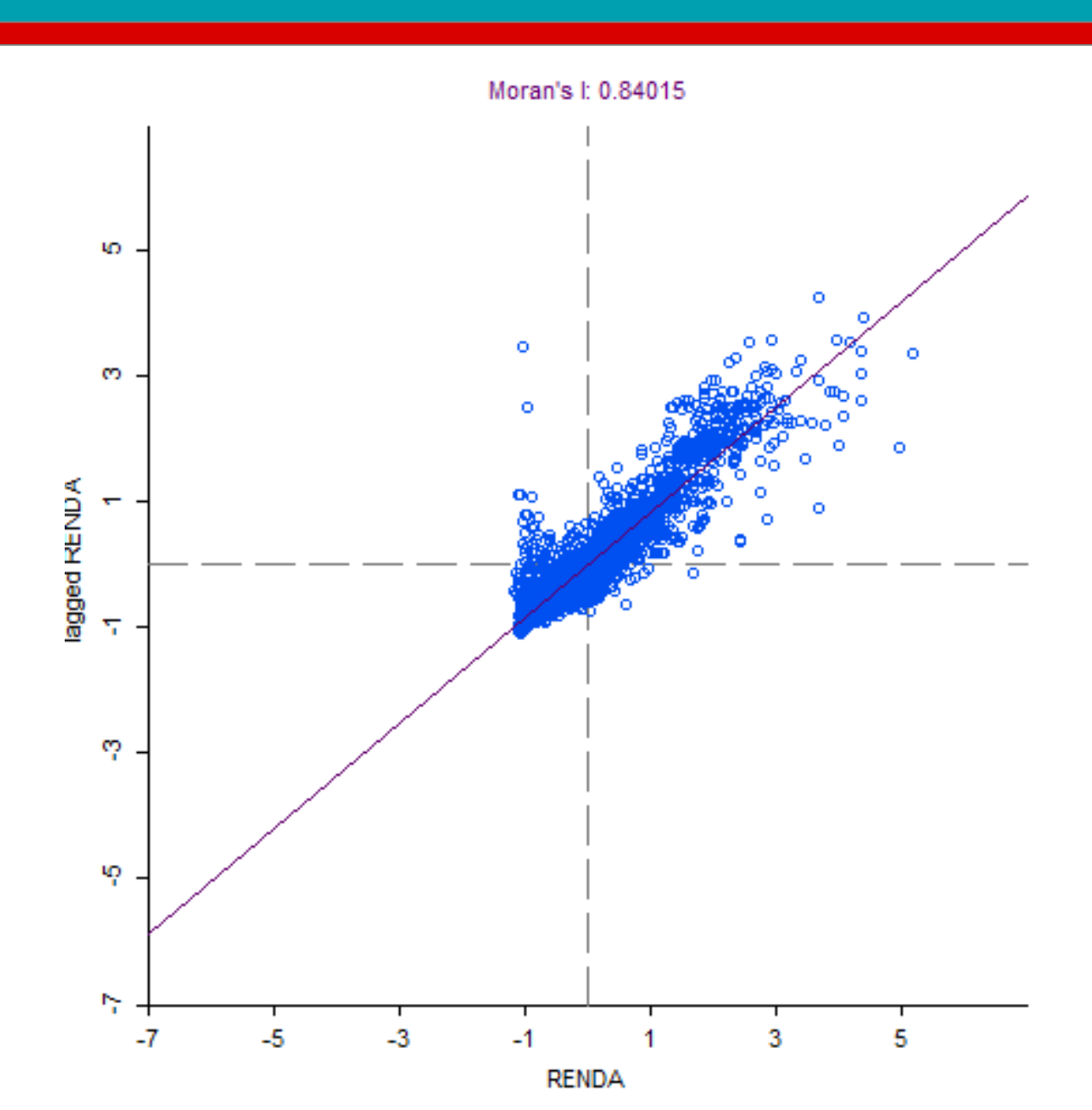
Valores positivos, médias negativas



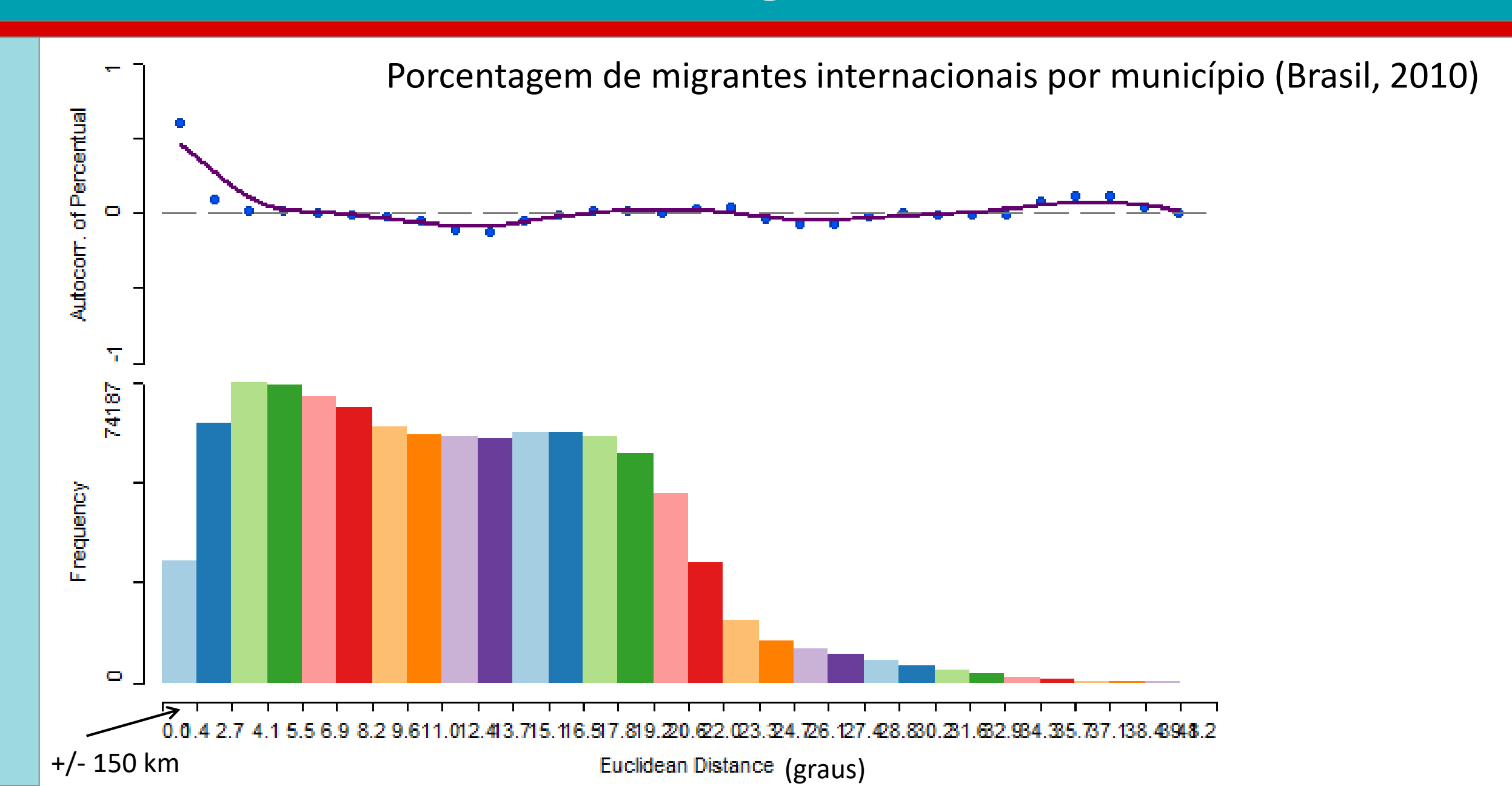
#### Autocorrelação espacial global

 Renda em Belo Horizonte (2000)

$$I = 0.84$$



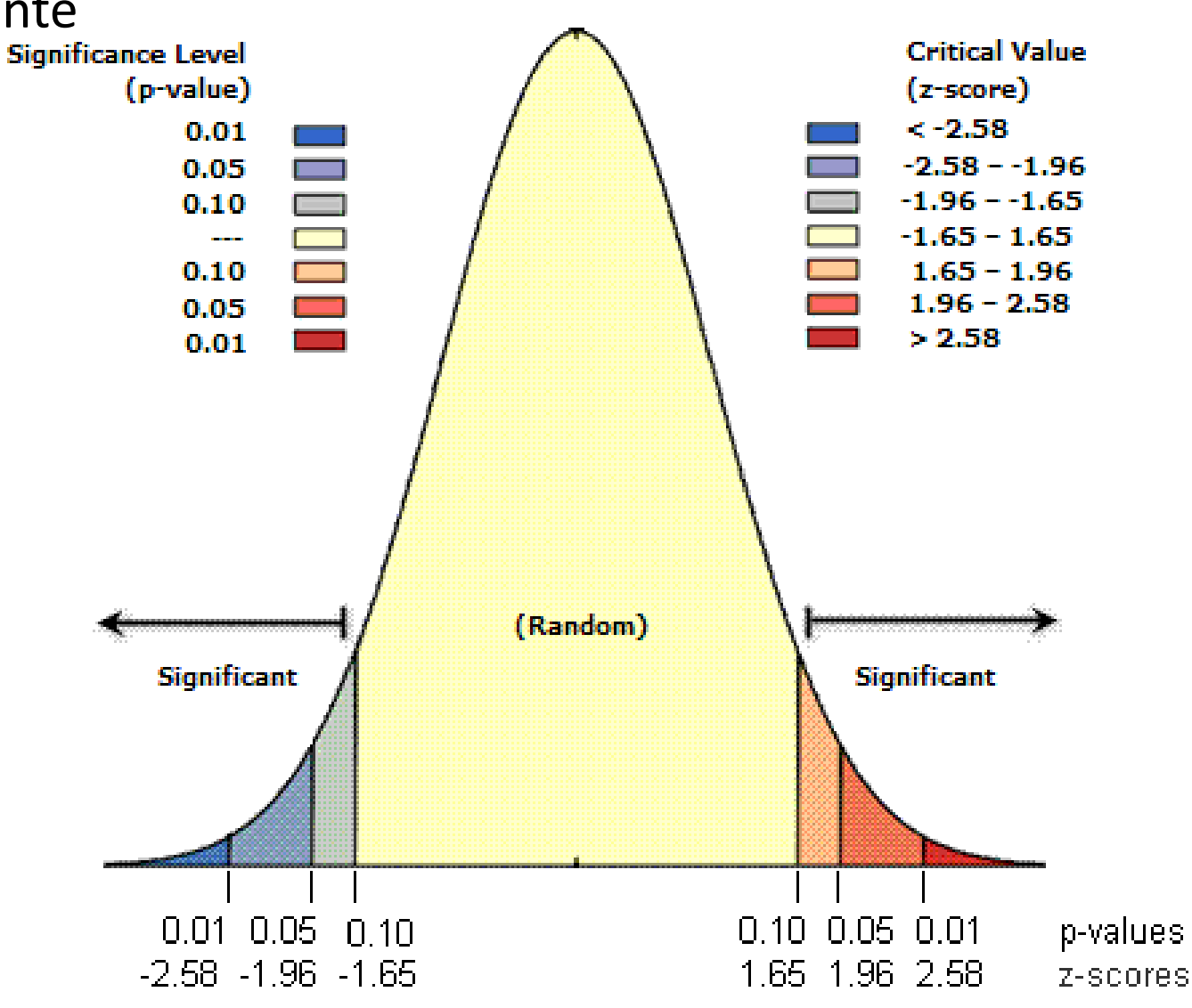
#### Correlograma



#### Z-Score e P-Value

Hipótese nula: dados são randomicamente

distribuídos na área de estudo



permutations: 999

pseudo p-value: 0.001000

Permutação com "não-vizinhos"

l: 0.7738 E[I]: -0.0003 mean: -0.0001 sd: 0.0099 z-value: 77.9589

#### Autocorrelação espacial local

- Indice de Moran (I) Local
- Detecta regimes de associação espacial em nível local dentro da área de estudo

Permite construir clusters estatisticamente significantes

 A utilização destes indicadores em conjunto com os indicadores globais, refinam nosso conhecimento sobre o processos que dão origem a dependência espacial

#### Autocorrelação espacial local

- Os indicadores locais de associação espacial, produzem um valor específico para cada objeto.
- Isto acarreta a identificação de:
- "Clusters": objetos com valores de atributos semelhantes,
- "Outliers": objetos anômalos,
- A presença de mais de um regime espacial

#### Autocorrelação espacial local

• Indice de Moran (I) Local

$$I_{i} = \left(\frac{\sum_{i} (x_{i} - \mu)^{2}}{N}\right) \sum_{j} w_{ij}(x_{j} - \mu)$$
(2)

#### Onde:

 $I_i$  = Moran Local para a observação  $_i$ : N = número de observações; x = variável analisada;  $\mu = \text{média de x}$   $w_{ij} = \text{elementos da matriz de pesos espaciais,}$ nos quais  $_i$  e  $_j$  referem-se a localização geográfica.

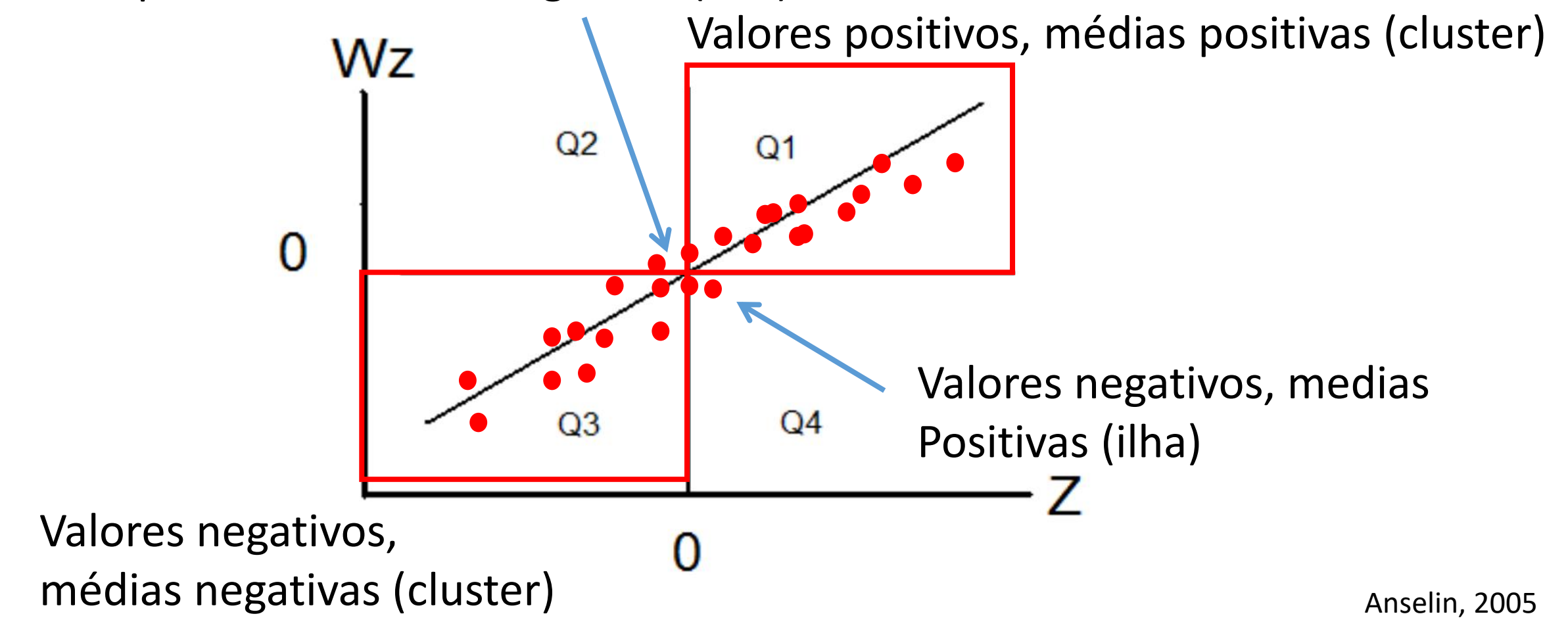
#### Mapa Lisa

- Uma vez determinada a significância estatística de Moran

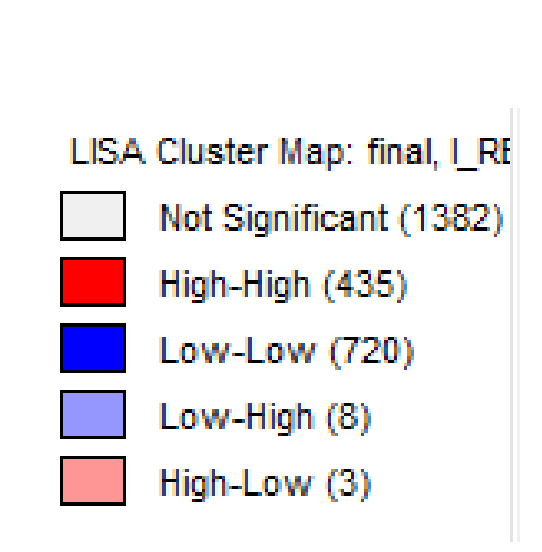
   (I) é muito útil gerar um mapa indicando as regiões que
   apresentam correlação local significativamente diferente
   do resto dos dados.
- Este mapa é denominado por Anselin (1995) de "LISA MAP".

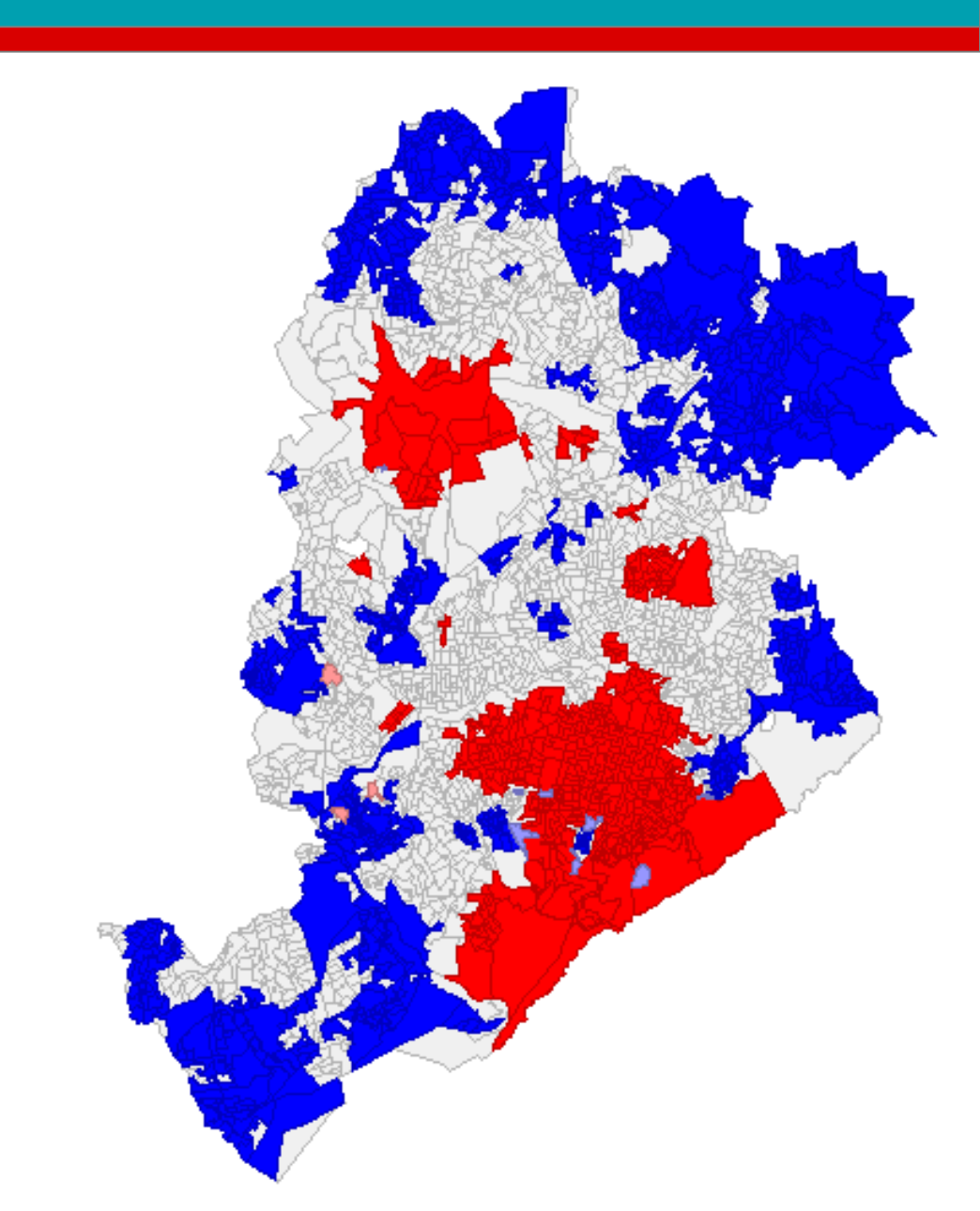
• Diagrama de dispersão

Valores positivos, médias negativas (ilha)

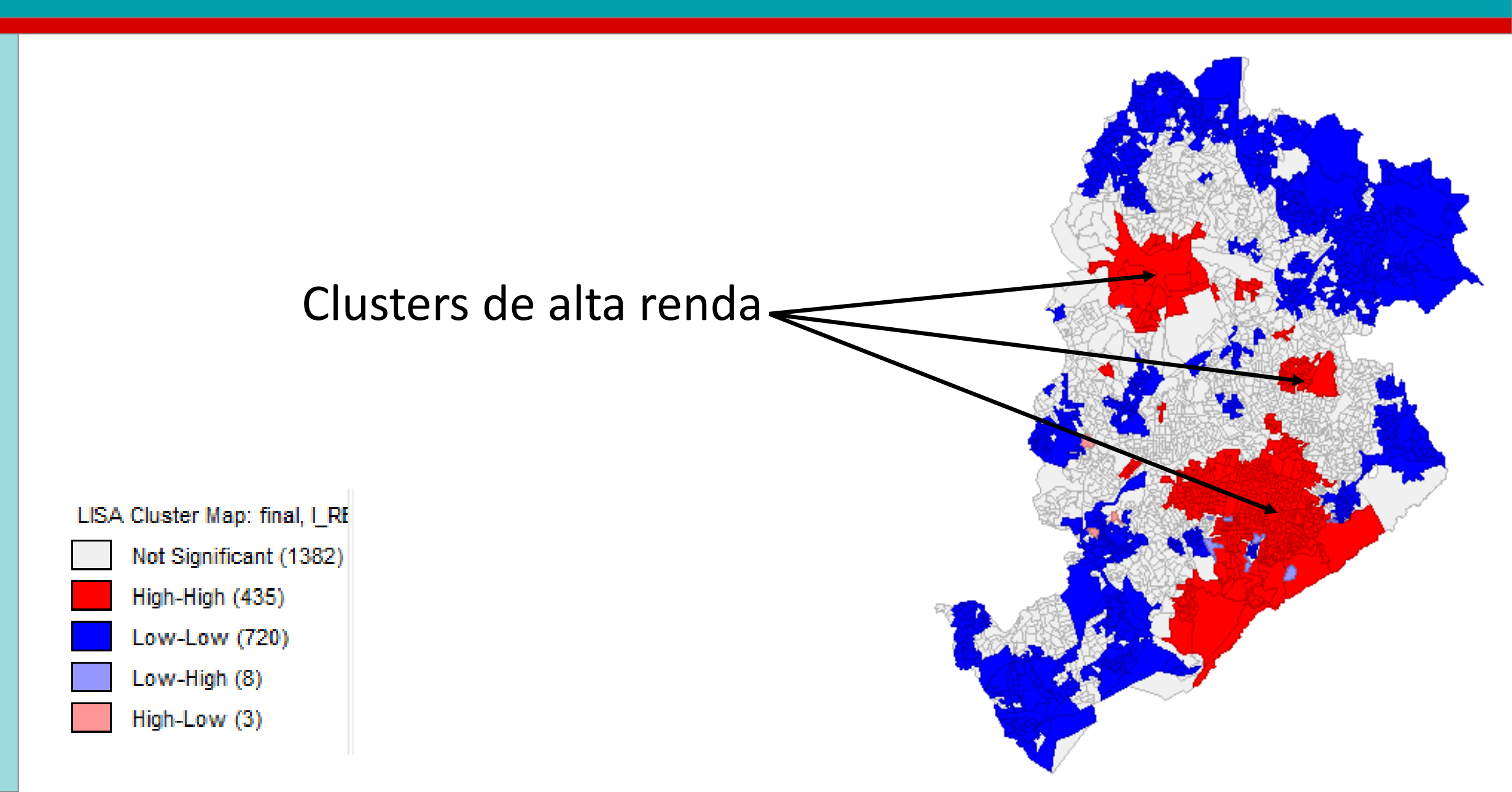


#### Renda em Belo Horizonte, 2000



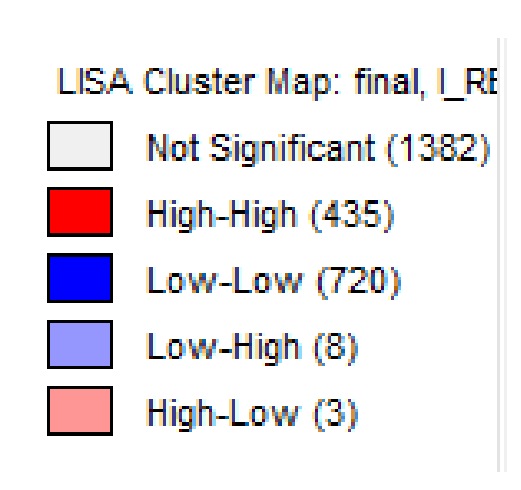


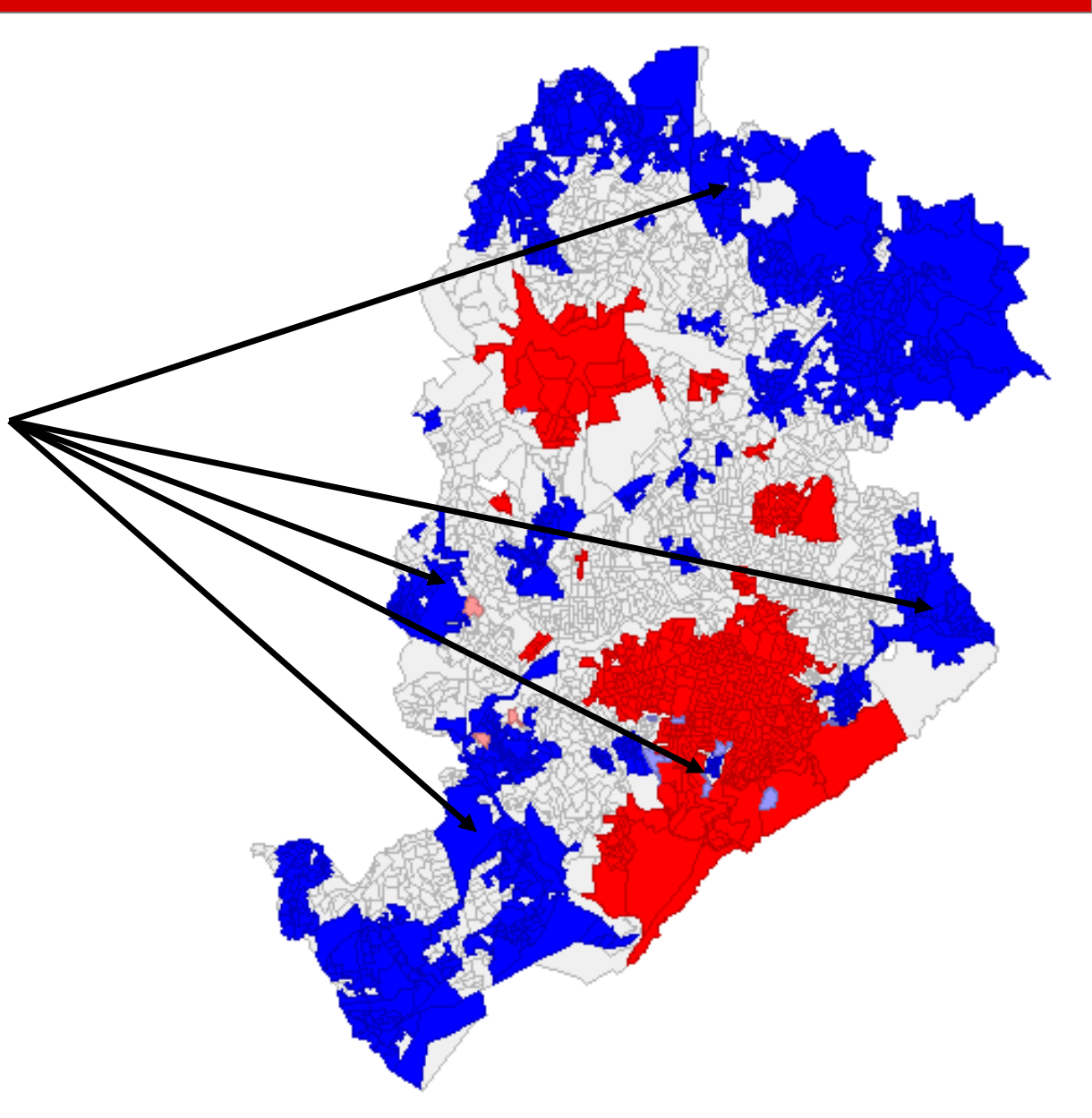
#### Renda em Belo Horizonte, 2000



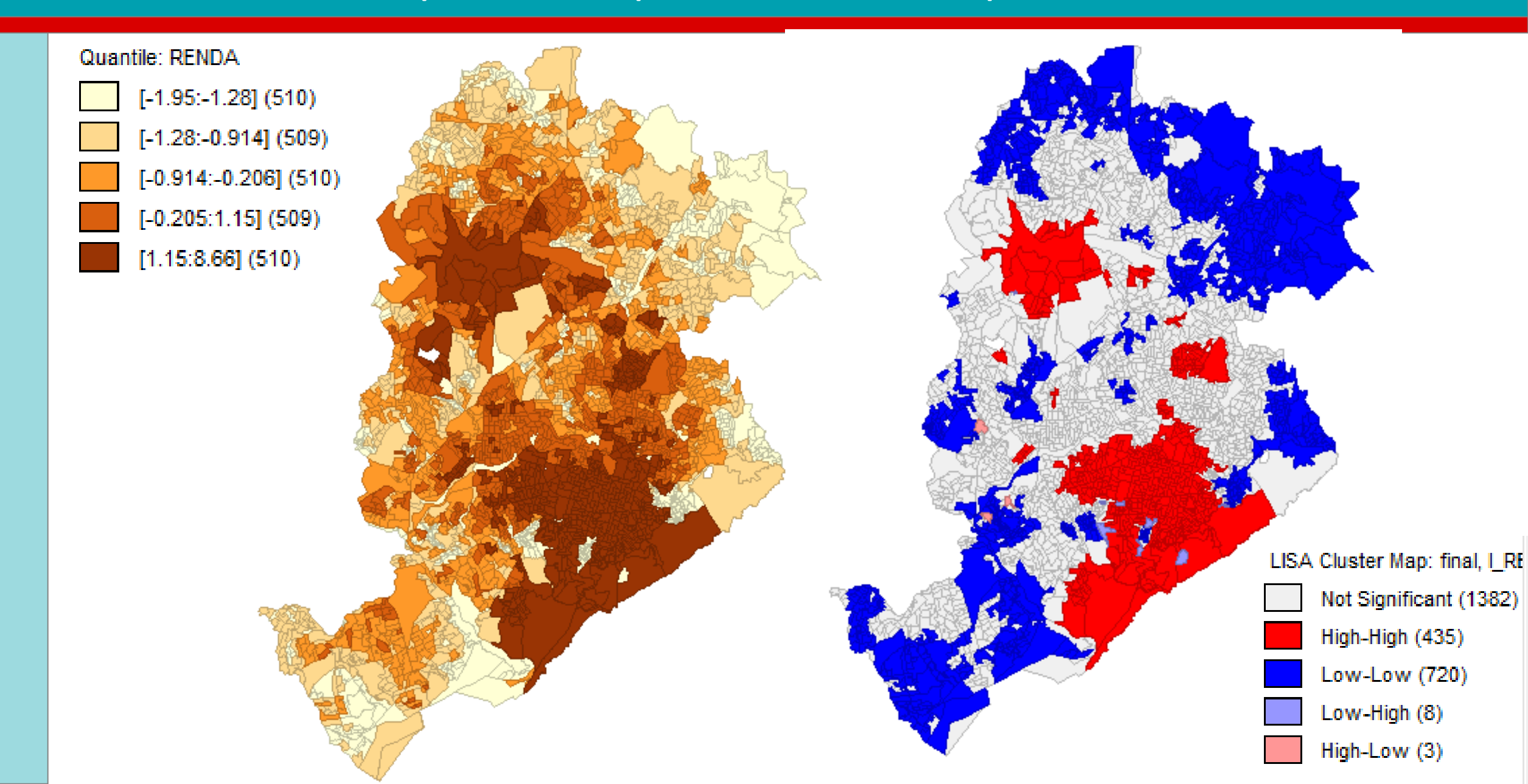
# Renda em Belo Horizonte, 2000







# Mapa coroplético x Mapa Lisa



# Autocorrelação espacial: Aplicação

# Aplicação

GEOGRAFIA, Rio Claro, v. 39, n. 2, p. 257-272, mai./ago. 2014.

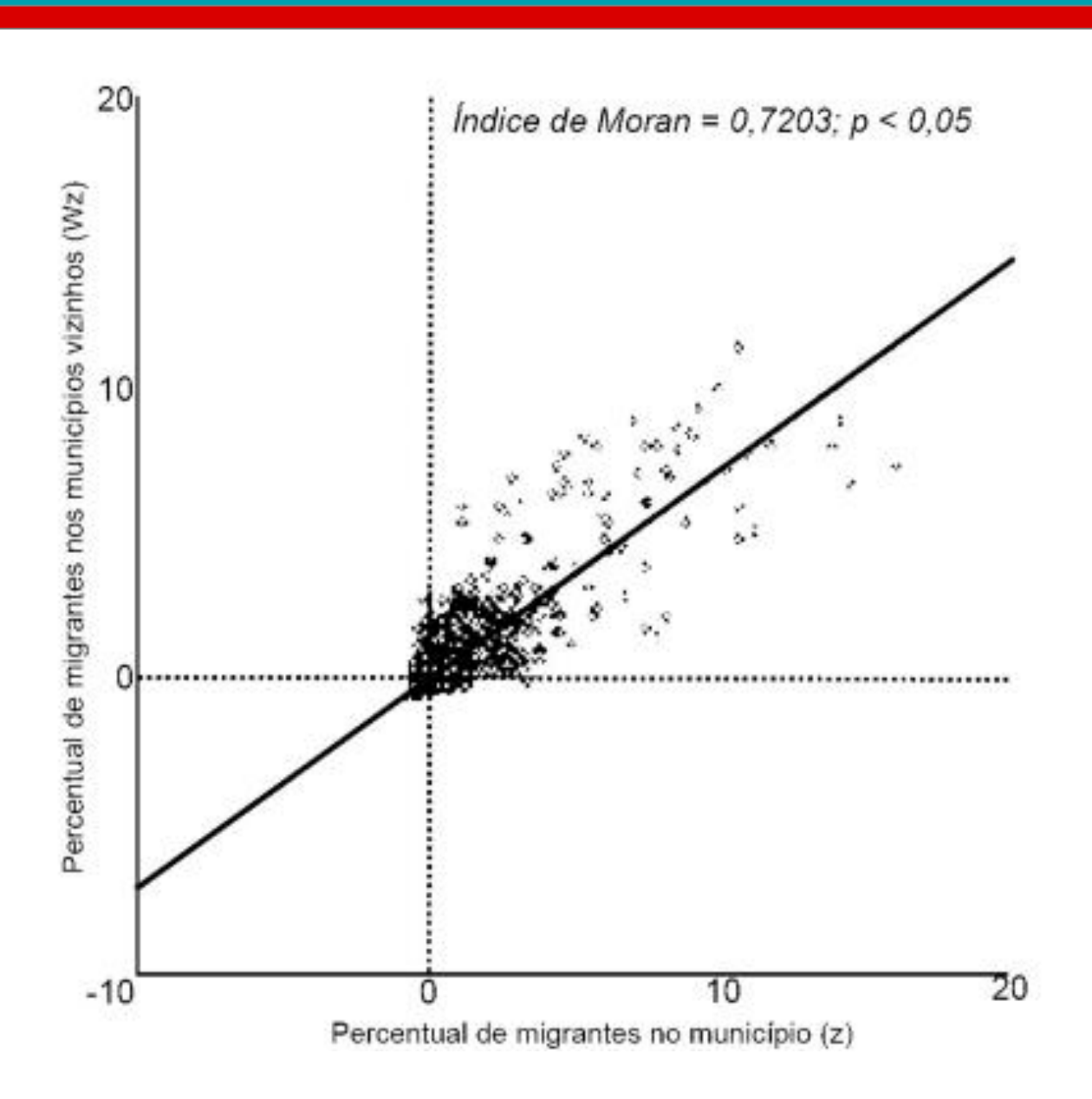
#### AGRUPAMENTOS DE EMIGRAÇÃO INTERNACIONAL NO BRASIL: O PAPEL DAS REDES SOCIAIS NA FORMAÇÃO DOS ESPAÇOS DE EMIGRAÇÃO

Marden Barbosa de CAMPOS¹ Diego Rodrigues de MACEDO²

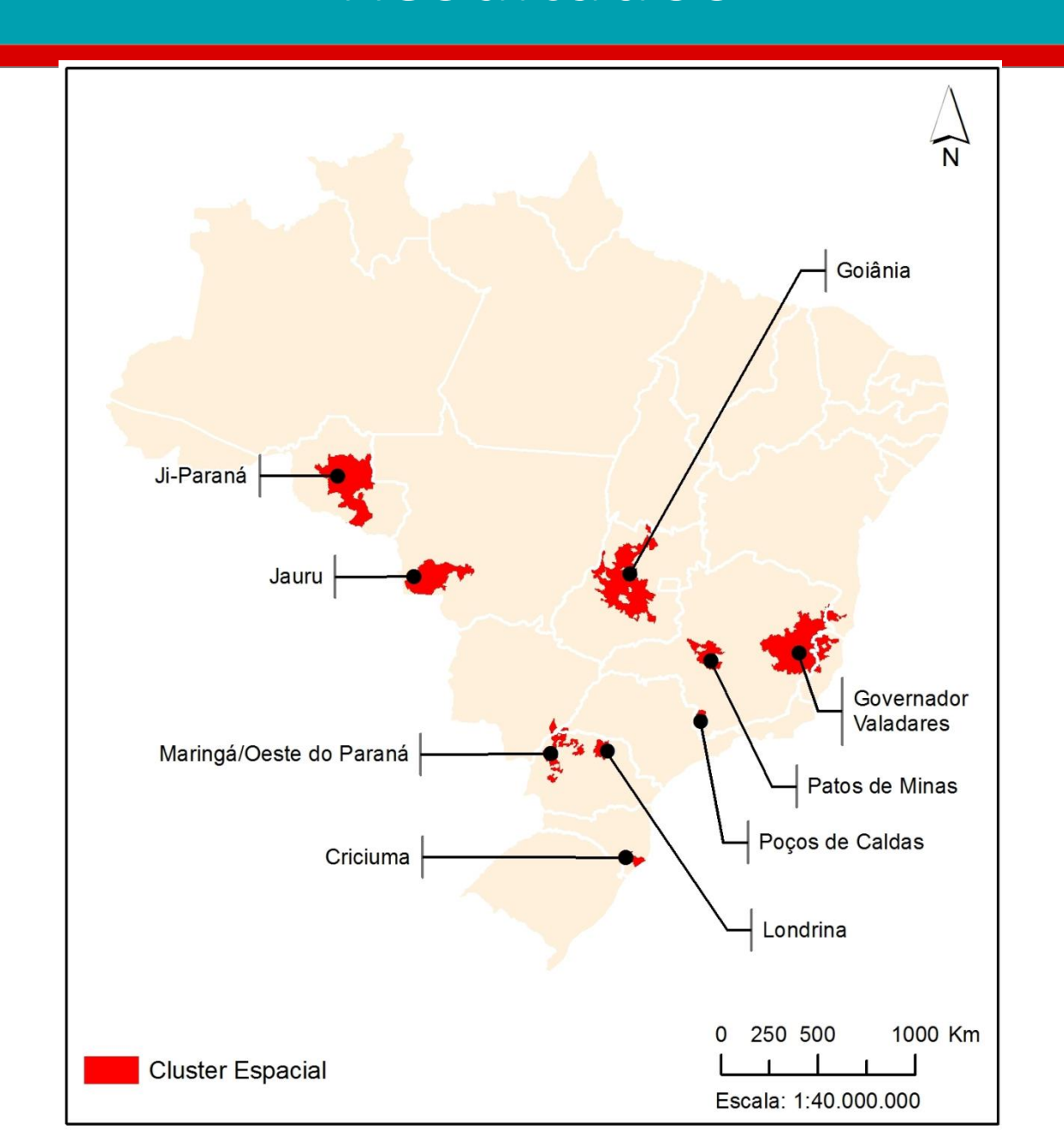
# Aplicação

- Objetivo: identificar as principais regiões de origem dos migrantes internacionais no território brasileiro
- Mapeamento de agrupamentos espaciais de emigração internacional
- Identificação dos clusters espaciais do tipo "alto-alto", através do mapa de significancia de Moran

# Resultados



# Resultados



# Percentual e total de migrantes nos clusters

<b>Governador Val</b>	adares			
Estados Unidos	55.81% (21826)			
Portugal	27.82% (10880)			
Itália	5.11% (2000)			
Espanha	2.75% (1075)			
Reino Unido	2.58% (1008)			
Outros	5.92% (2317)			
Goiânia				
Estados Unidos	23.91% (6828)			
Espanha	19.92% (5690)			
Portugal	17.62% (5033)			
Reino Unido	9.51% (2717)			
Bélgica	5.63% (1609)			
Outros	23.41% (6685)			
Mariangá/Oeste	e do Paraná			
Portugal	21.09% (1049)			
Espanha	19.83% (986)			
Japão	18.88% (939)			
Estados Unidos	12.29% (611)			
Reino Unido	12.13% (603)			
Outros	15.79% (785)			
Ji Paraná				
Espanha	29.13% (1139)			
Portugal	28.03% (1096)			
Estados Unidos	25.22% (986)			
Bolívia	8.26% (323)			
Reino Unido	1.89% (74)			

Patos de Minas	
Estados Unidos	65.38% (1590)
Reino Unido	12.17% (296)
Espanha	8.55% (208)
Bélgica	3.13% (76)
Portugal	2.96% (72)
Outros	7.81% (190)
Jauru	
Estados Unidos	55.23% (660)
Bolívia	16.49% (197)
Espanha	11.63% (139)
Portugal	4.85% (58)
Japão	2.18% (26)
Outros	9.62% (115)
Criciuma	
Estados Unidos	14.25% (835)
Itália	13.2% (773)
Alemanha	10% (586)
Portugal	6.59% (386)
Reino Unido	5.96% (349)
Outros	50% (2929)
Poços de Caldas	
Estados Unidos	61.89% (1163)
Portugal	8.89% (167)
Itália	8.3% (156)
Espanha	5.91% (111)
Reino Unido	2.93% (55)
Outros	12.08% (227)

Londrina	
Japão	28.09% (2081)
Portugal	17.96% (1331)
Reino Unido	16.13% (1195)
Estados Unidos	12.47% (924)
Espanha	6.69% (496)
Outros	18.65% (1382)

Fonte: IBGE, 2010.

# Aplicação

 Resultados corroboram a hipótese de que a migração é impulsionada por redes já estabelecidas nos países que recebem os migrantes

# I-Moran como diagnóstico em modelos de regressão

# Suposições do modelo de regressão

1) Distribuição Normal Para um valor fixo da variável aleatória X, Y é uma variável aleatória com distribuição Normal (com média e variâncias finitas);

Yi 
$$\sim$$
 N(E(y/x);  $\sigma^2$ )

2) Linearidade

Todos os valores médios de Y (E(y/x)= $\mu_{Y/x}$ ) permanecem sobre uma reta, para um particular valor de X.

$$E(y/x)=\mu_{y/x}=\beta_0+\beta_1x$$

3) Independência

Os valores de Y são estatisticamente independentes.

4) Homocedasticidade

A variância de Y é igual, qq que seja X.

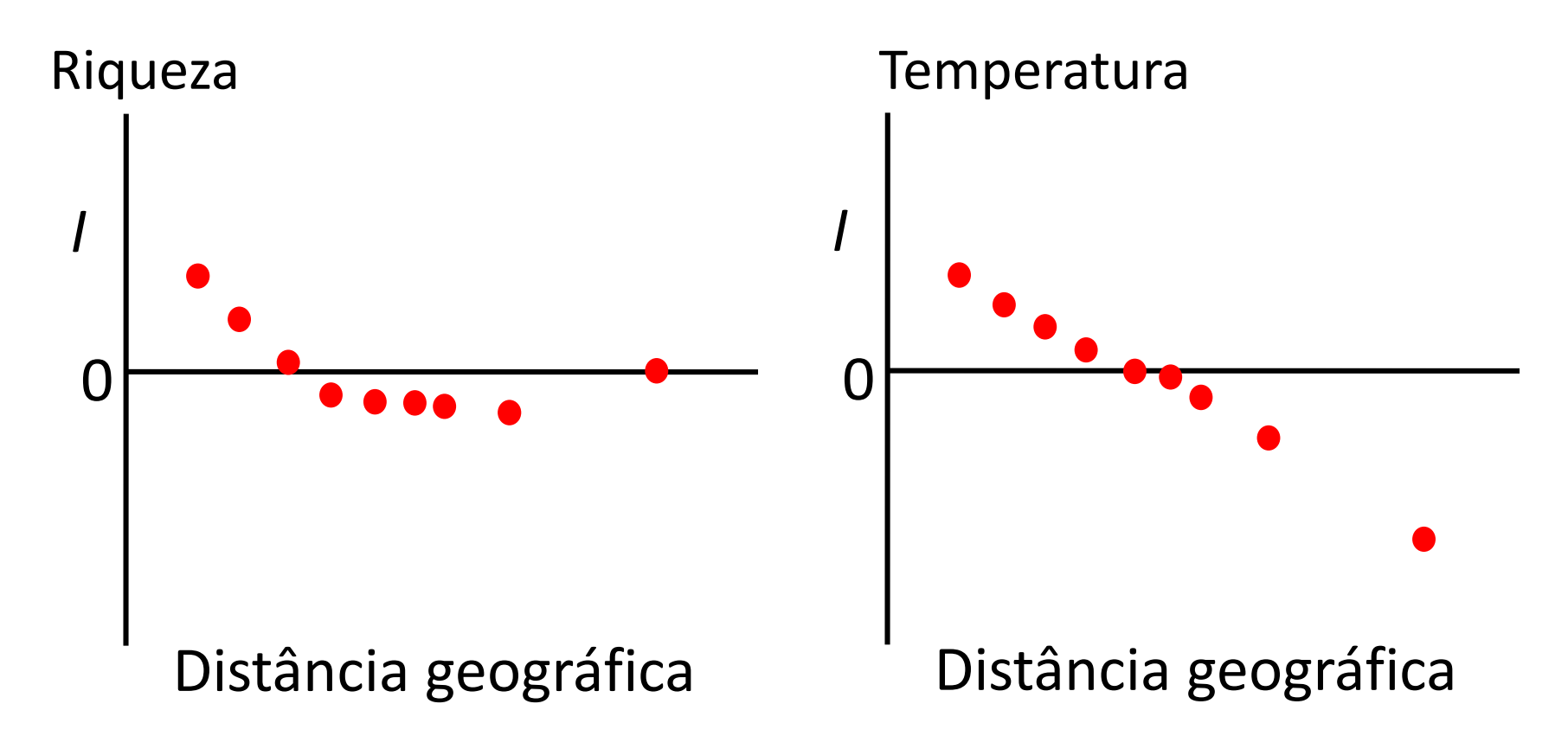
#### Análise dos Resíduos

 Hipótese de independência das observações em geral é <u>Falsa</u> → Dependência Espacial

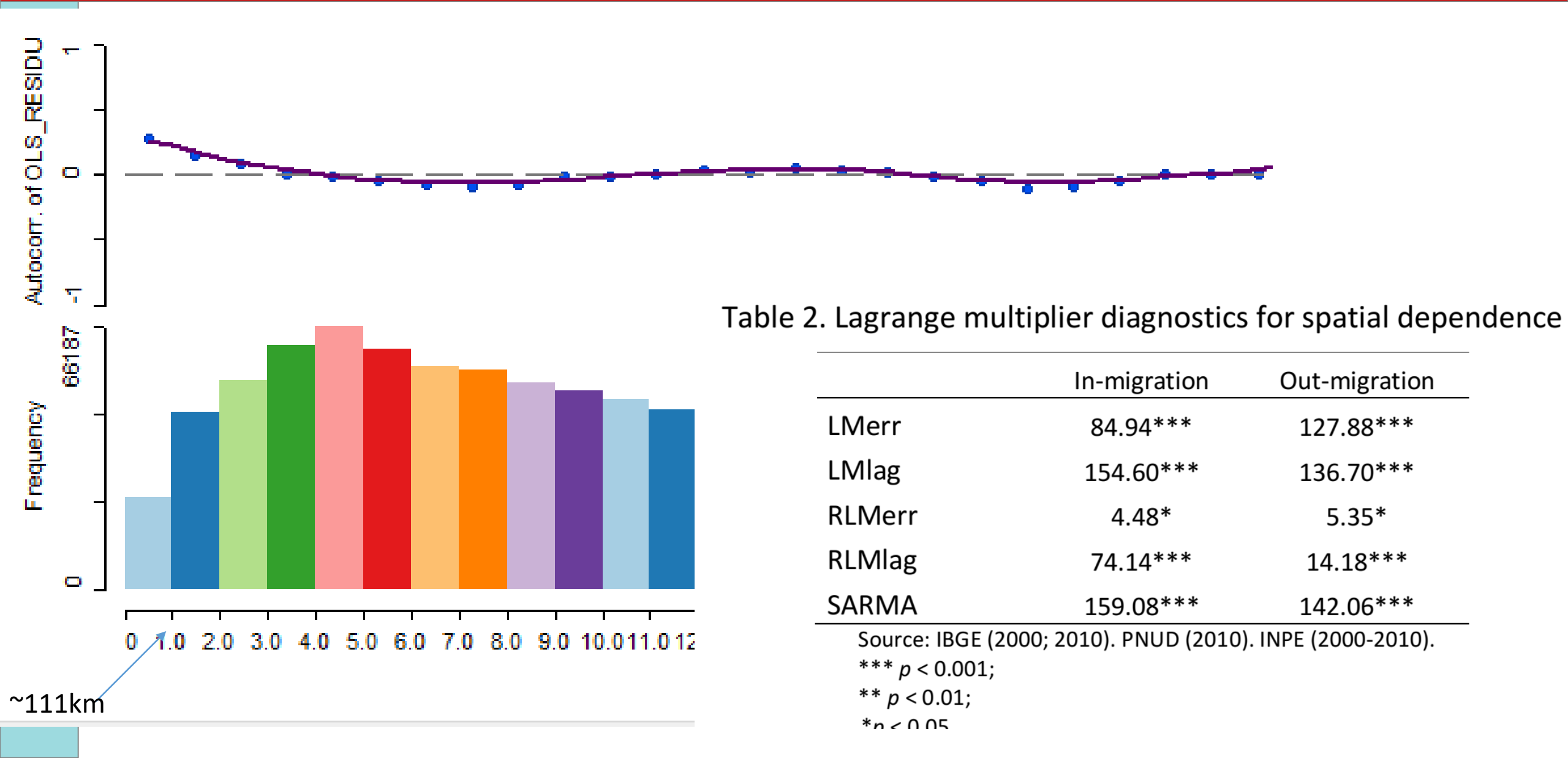
- Efeitos Espaciais
  - Se existir forte tendência ou correlação espacial, os resultados serão influenciados, apresentando associação estatística onde não existe (e vice-versa) Erro Tipo I e II
- Como verificar?
  - Medir a autocorrelação espacial dos resíduos da regressão (Índice de Moran dos resíduos)

# Resíduos: como NÃO DEVEM ser

## Dependencia espacial



# I-Moran dos resíduos do modelo de regressão



# Regressão Espacial

Autocorrelação espacial constatada!

E agora?

- Modelos de regressão que incorporam efeitos espaciais:
  - Globais: utilizam um único parâmetro para capturar a estrutura de correlação espacial
  - Locais: parâmetros variam continuamente no espaço

# Spatial Lag Model (LAG)

Suposição

 a variável Y<sub>i</sub> depende dos valores da variável dependente nas áreas vizinhas a i:

$$Y = \rho WY + X\beta + \varepsilon$$

- $\rho$  = coeficiente espacial autoregressivo medida de correlação espacial
- $\rho$  = 0, se autocorrelação é nula (hipótese nula)
- W = matriz de proximidade espacial
- WY expressa a dependência espacial em Y

# Aplicação: Modelos de Regressão Espacial Global

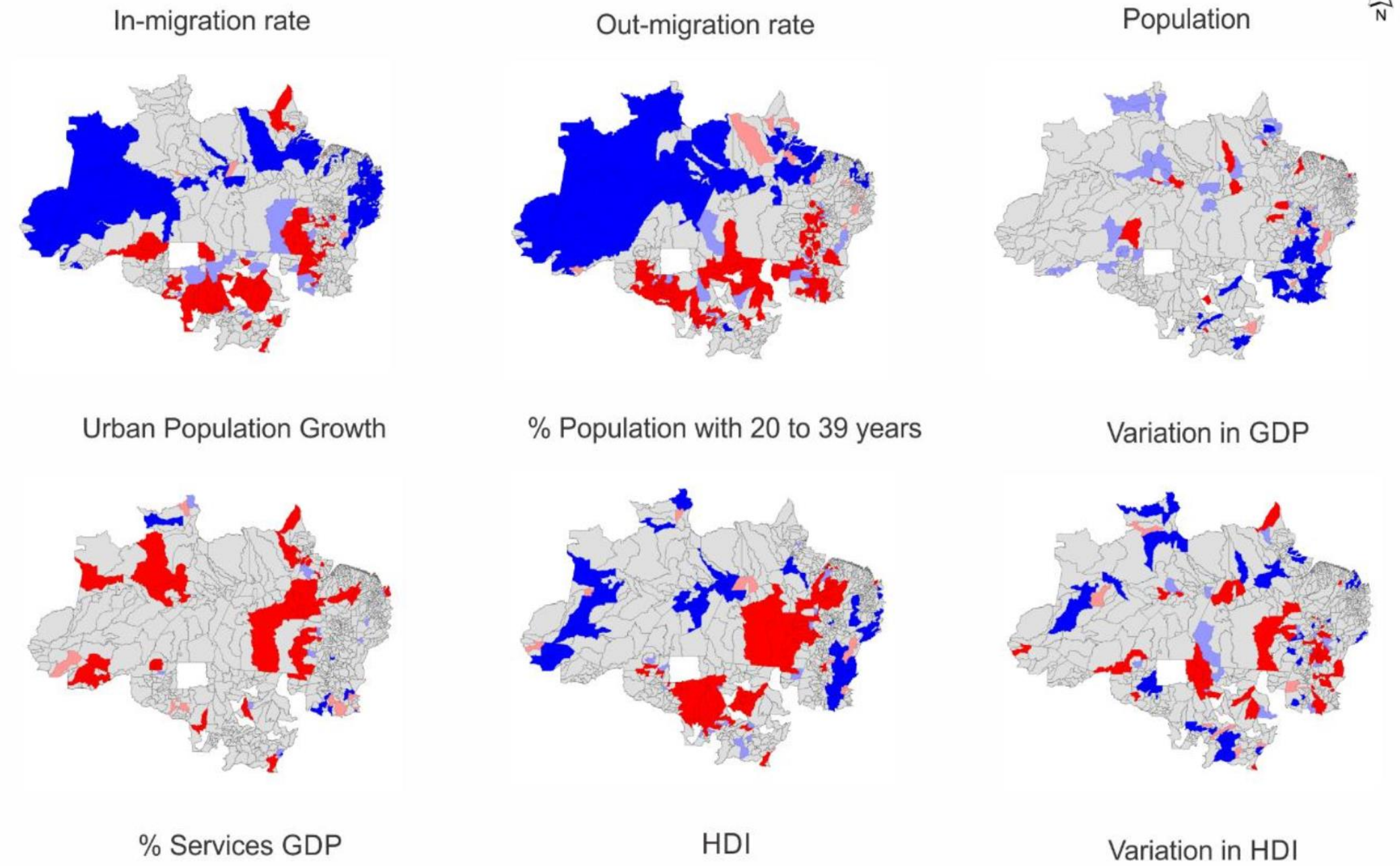
# Assessing the regional context of migration in the Brazilian Amazon through spatial regression modeling

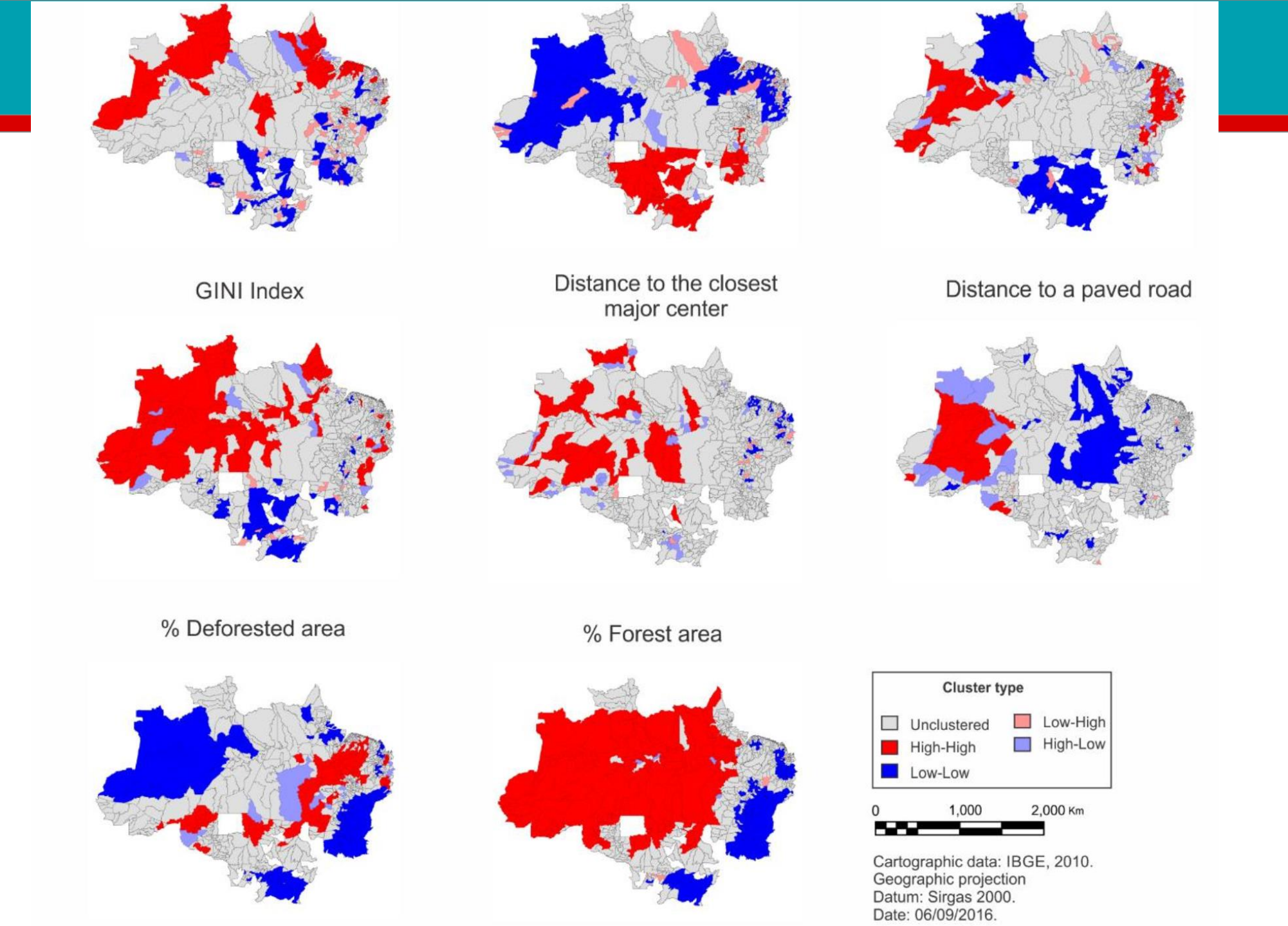
Douglas Sathler; Susana Adamo; Everton E. C. Lima; Diego Rodrigues Macedo; Alex de Sherbinin; Paola Kim-Blanco

Submetido: Applied Geography

- (1) Existe alguma dependência espacial nas variáveis exploradas e, em caso afirmativo, como essa característica deve ser adequadamente abordada nos modelos de regressão espacial?
- (2) Quais fatores contextuais explicam significativamente as taxas de imigração e emigração (data fixa) na Amazônia brasileira?







# Modelos Ajustados

	In-migration		Out-migration		
	OLS	SLM	OLS	SLM	
Adj-R2	0.438***		0.346***		
Rho		0.513***		0.466***	
AIC	4383.17	4236.37	4018.7	3900.48	
*** p < 0	0.001				

## Resultados

• Os resultados mostraram que as variáveis e os modelos ajustados possuem dependência espacial

- Modelos de Regressão com Efeitos Espaciais
   Contínuos
  - variações espaciais modeladas de forma contínua, com parâmetros variando no espaço.
  - "Geographically Weighted Regression" GWR.

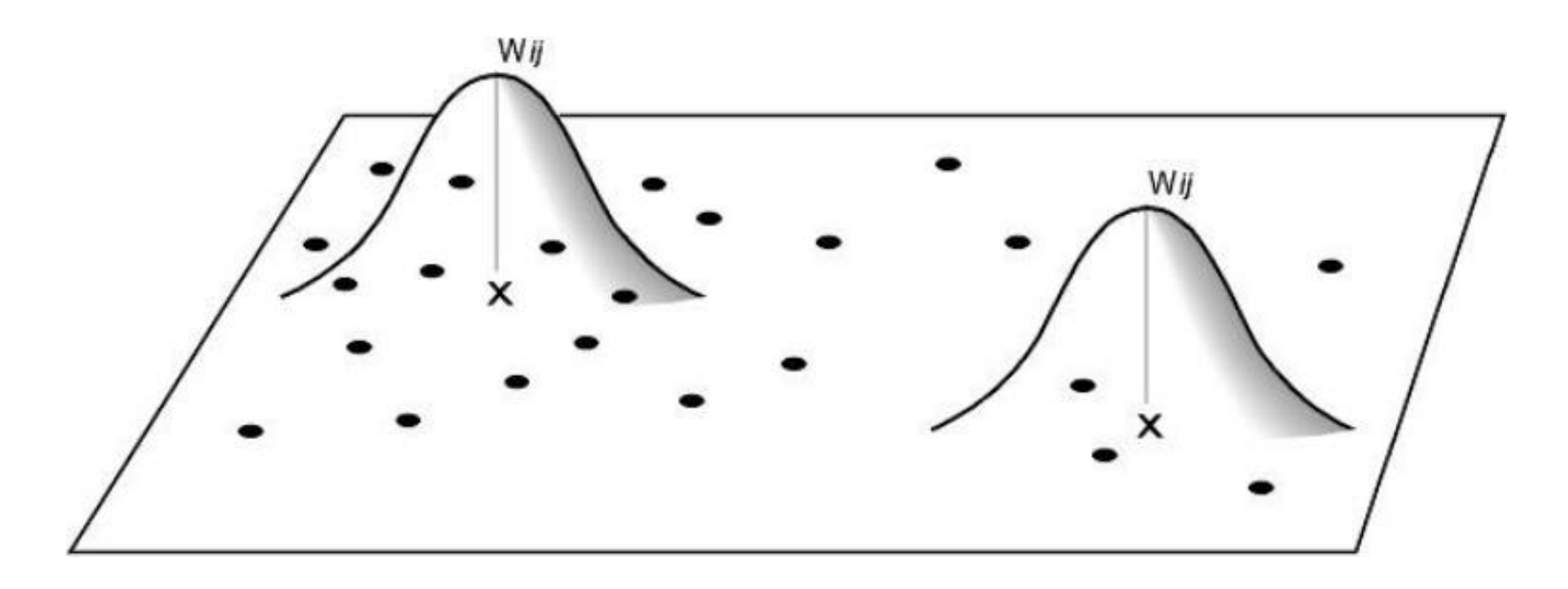
 Uma maneira de incorporar o termo espacial em uma regressão é utilzar a Regressão Geograficamente Ponderada (GWR)

Regressão clássica:  $y_i = \beta_0 + \beta_1 x_i + \varepsilon_i$ 

Parâmetros  $\beta_0 + \beta_1$  são iguais para todos os valores estimados

• Regressão Geograficamente Ponderada, cada Y possuirá um valor para  $\beta_0$  +  $\beta_1$ 

$$y(i) = \beta_0(i) + \beta_1(i)x_i + \varepsilon_t$$





#### XXI Encontro Nacional de Estudos Populacionais

População, sociedade e políticas: desafios presentes e futuros ST: Tendências na distribuição espacial da população, desenvolvimento e urbanização 2

# Renda e condições de vida nos municípios de Minas Gerais: possibilidades a partir da Regressão Geograficamente Ponderada (GWR)

Júlio César Paiva
Carlos Lobo
Diego Macedo
Universidade Federal de Minas Gerais
PPG Análise e Modelagem de Sistemas Ambientais
Setembro/2018

# Objetivo e Hipótese

- Analisar a relação entre renda e indicadores sociais (mortalidade infantil, analfabetismo e porcentagem de pobres) nos municípios mineiros com base nos dados do último Censo Demográfico (2010).
- A renda não se materializa necessariamente em melhores condições de vida?

Porcentagem de Pobres

Mortalidade Infantil

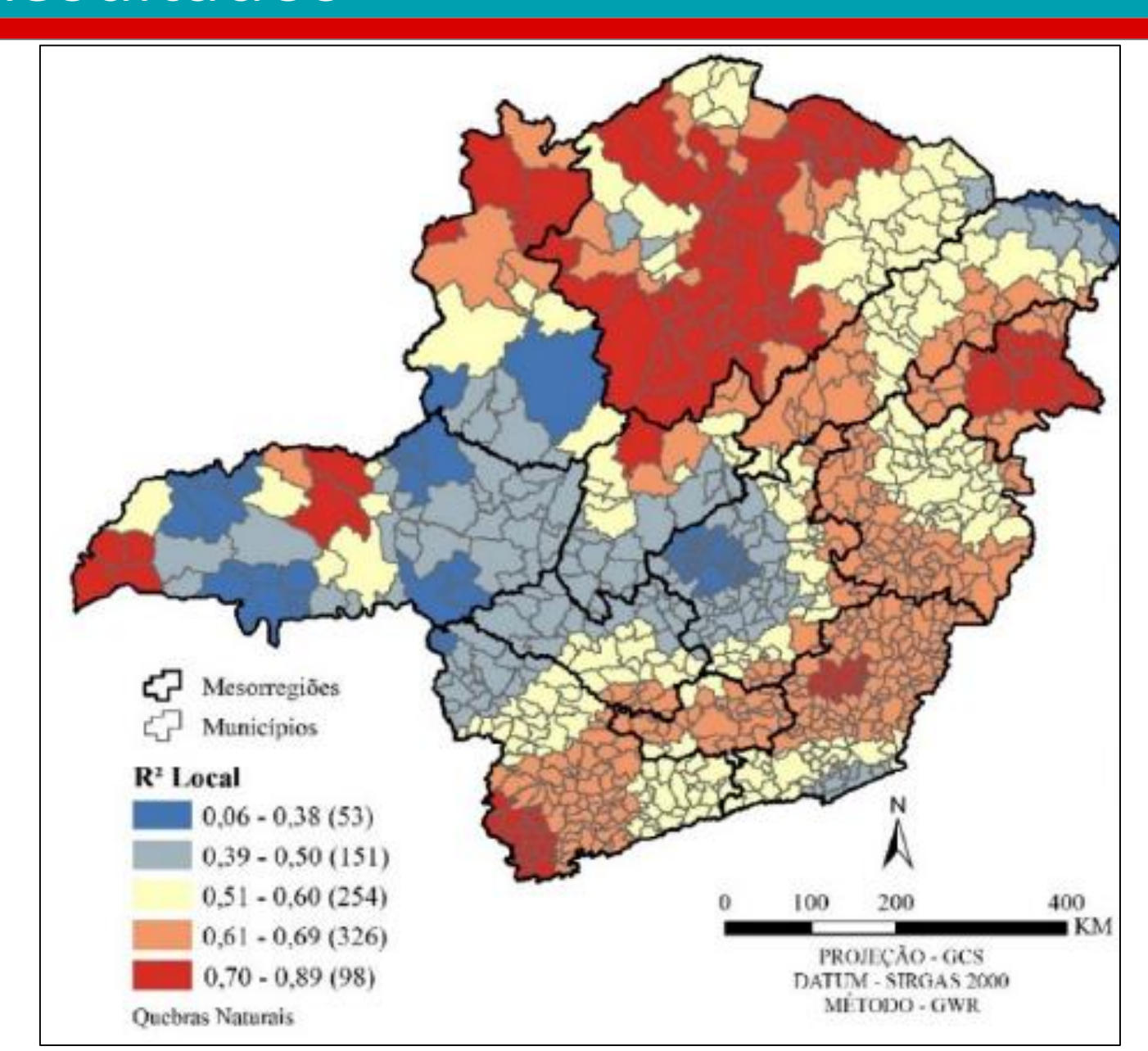
**ICV** 

Taxa de Analfabetismo  $R^2 = 0,69$ 

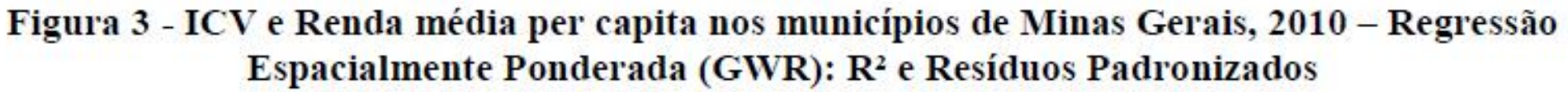
Renda Média Per Capita

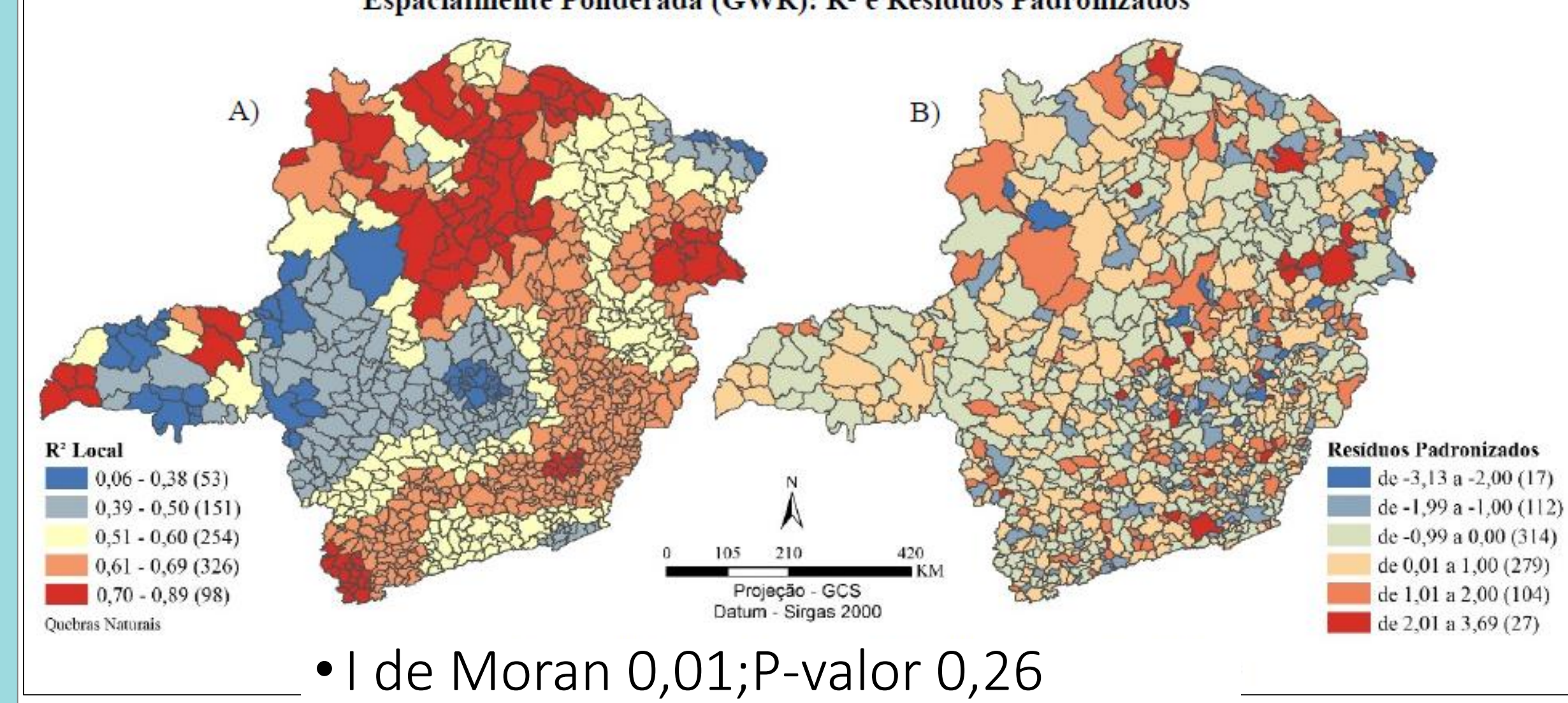
### Resultados

- Relação direta entre ICV e Renda (R² Global 0,89);
- Modelo não espacial R<sup>2</sup>=0,69
- Escores de R<sup>2</sup> Local altos (678 municípios +0,51 / 175 municípios -0,50);
- (+) Norte de Minas e Mucuri;
- (-) Triangulo/Alto Paranaíba e Metropolitana de BH.



#### Resultados





 No geral, a renda se materializa em melhores condições de vida.

- No entanto, localmente estas variações são distintas.
- Disparidade entre os municípios e regiões mineiras: Triangulo/Alto Paranaíba se as relações são mais baixas, e Norte de Minas, Vales do Jequitinhonha e Mucuri, as relações são maiores.